

Espace de modules des courbes hyperelliptiques stables et une inégalité de Cornalba-Harris-Xiao

Sylvain Maugeais

Résumé

Dans cet article, on démontre une inégalité entre les degrés du conducteur et du fibré de Hodge d'une courbe stable hyperelliptique sur un anneau de valuation discrète. Pour cela, on est amené à démontrer des théorèmes de relèvement de revêtements p -cycliques afin d'obtenir des informations sur le bord de l'espace des modules des courbes hyperelliptiques. Le résultat découle alors de la géométrie de ce dernier.

Abstract

In this paper, we show an inequality between the degrees of the conductor and the Hodge fiber of a hyperelliptic curve above a discrete valuation ring. For that we have to show theorems about the lifting of p -cyclic covers in order to obtain informations on the edge of the moduli space of hyperelliptic stable curves. The inequality then comes from the geometry of this last space.

1 Introduction

Soit $\mathcal{C} \rightarrow S$ une famille de courbes stables de genre $g \geq 2$ sur une base S . Il lui correspond alors une section $\pi : S \rightarrow \overline{M}_{g,S}$ où $\overline{M}_{g,S}$ est l'espace des modules des courbes stables de genre g sur S . Notons λ le fibré de Hodge sur $\overline{M}_{g,S}$ et δ le diviseur du bord $\overline{M}_{g,S} \setminus M_{g,S}$. Lorsque S est une courbe projective lisse sur \mathbb{C} , Cornalba, Harris [1] et Xiao [18] ont démontré indépendamment l'inégalité

$$(8g + 4) \deg \pi^* \lambda \geq g \deg \pi^* \delta. \quad (1)$$

Notre but est d'étudier l'analogie de cette inégalité lorsque S est le spectre d'un anneau de valuation discrète. Dans cette situation, tout faisceau inversible sur S

Math. Subj. Class. (2000) : 14G20, 14H10, 14H30, 14D15.

Mots clés : Courbes hyperelliptiques, courbes stables, schéma de modules, revêtement, formal patching.

est isomorphe à \mathcal{O}_S , et le degré n'est donc pas défini. En revanche, un diviseur de Cartier sur S correspond à un élément de $f \in K(S)^*$ modulo \mathcal{O}_S^* , on peut donc lui associer canoniquement un degré qui est la valuation de f . Le membre de gauche de l'inégalité (1) a un sens si on peut trouver un diviseur de Cartier D tel que $\mathcal{O}(D) \simeq \lambda$, et dont le support ne contient pas $\pi(S)$ de sorte que π^*D soit défini. Le membre de droite est bien défini si $\pi(S)$ n'est pas contenu dans δ , ce qui équivaut à dire que $\mathcal{C} \rightarrow S$ est à fibre générique lisse.

Dans ce travail, nous considérons les courbes stables $\mathcal{C} \rightarrow S$ à fibre générique lisse et hyperelliptique. On a une section rationnelle canonique du fibré $(\pi^*\lambda)^{\otimes 8g+4}$ sur S , à savoir

$$\Lambda = \Delta^g \left(\frac{dx}{2y+Q} \wedge \dots \wedge \frac{x^{g-1}dx}{2y+Q} \right)^{\otimes 8g+4} \in \left(\bigwedge^g H^0(C, \Omega_{C/K}) \right)^{\otimes 8g+4}.$$

où $y^2 + Q(x)y - P(x)$ est une équation affine de la fibre générique C de $\mathcal{C} \rightarrow S$ et où Δ est le discriminant de l'équation comme défini par exemple dans [11], section 1.2. Lorsque 2 est inversible dans S , Kausz a montré (conséquence immédiate de [8], Theorem 3.1) que

$$g^2\delta_s \geq \text{Ord}_s(\Lambda) \geq g\delta_s,$$

où δ_s est la somme des épaisseurs des points doubles de la fibre spéciale (ou, de manière équivalente, le nombre de points singuliers de la fibre spéciale de la désingularisation minimale de \mathcal{C} sur S , cf [15], proposition 2.4). L'inégalité de droite est l'analogie de (1) dans le cas local. Le résultat principal de ce travail est le théorème suivant qui supprime l'hypothèse 2 inversible.

Théorème 1 *Soient R un anneau de valuation discrète, $S = \text{Spec}(R)$, et $\mathcal{C} \rightarrow S$ une courbe stable dont la fibre générique C est lisse et hyperelliptique. Notons Λ la section canonique de $(\bigwedge^g H^0(C, \Omega_{C/K}))^{\otimes 8g+4}$, on a alors*

$$g^2\delta_s \geq \text{Ord}_s(\Lambda) \geq g\delta_s. \quad (2)$$

Notons que dans le cas d'une courbe elliptique à réduction semi-stable, ces inégalités sont des égalités. Pour démontrer ce théorème, on se ramène à montrer la positivité d'un diviseur \mathbb{Q} -Cartier sur l'espace des modules des courbes stables hyperelliptiques. Celle-ci pouvant être obtenue en effectuant le calcul aux points de codimension 1, on est amené à donner des résultats sur les composantes irréductibles du bord en caractéristique 2, ce qui s'obtient par des théorèmes de relèvements.

On commence donc par définir ce qu'est une courbe hyperelliptique semi-stable en toute généralité. On construit ensuite un schéma proche de ce que serait l'espace des modules des courbes hyperelliptiques stables. Le point essentiel est alors de montrer qu'une courbe stable hyperelliptique C sur un corps de caractéristique 2, réduction d'une courbe lisse hyperelliptique en caractéristique zéro, peut se

relever en une courbe lisse hyperelliptique en caractéristique 2. D’après Henrio [7], la courbe C , provenant d’une courbe en caractéristique zéro, vient avec des structures de torseurs sur chaque composante ainsi que des données de Hurwitz sur le graphe d’intersection (§4.2). En modifiant éventuellement ces données (torseurs et données de Hurwitz) de sorte que seuls certains types de torseurs apparaissent, on peut relever localement ces torseurs en caractéristique 2. Par la méthode de “formal patching”, ces relèvements se recollent et donnent un relèvement global de la courbe C en une courbe lisse hyperelliptique en caractéristique 2. On peut ensuite passer à la démonstration du théorème 1 en utilisant des cas particuliers de l’inégalité (2) en caractéristique zéro (dont une preuve simple est donnée en appendice A) et en travaillant avec les diviseurs sur l’espace des modules.

Lorsque les courbes sont suffisamment simples, un calcul explicite en caractéristiques résiduelle 2 est possible, ce calcul est fait en appendice B.

L’auteur remercie Yannick Henrio pour ses conseils précieux sur les méthodes utilisées pour le relèvement des courbes, et Qing Liu pour l’attention qu’il a portée à mon travail.

Convention Dans tout cet article, R sera un anneau de valuation discrète de valuation v , de corps des fractions K et de corps résiduel k , t sera une uniformisante de R . Le point fermé de $\text{Spec}(R)$ sera noté s et le point générique η . Certains graphes seront orientés. Si a est une arête orientée d’un graphe orienté, on notera \bar{a} l’arête opposée. Les exposants o et t tiendront alors respectivement pour le sommet origine et le sommet terminal.

2 Courbes semi-stables hyperelliptiques

2.1 Rappels sur les torseurs de degré p

Soient X un schéma et G un schéma en groupes affine p -cyclique sur X . Les G -torseurs au-dessus de X sont alors classifiés à isomorphisme près par $H^1(X, G)$ (cf [14], Corollary III.4.7 et Corollary III.2.10), la cohomologie étant prise au sens fppf (fidèlement plate et de présentation finie). D’autre part, dans le cas où G est isomorphe à α_p ou μ_p et que X est un schéma lisse sur un corps parfait de caractéristique p , on a une description des G -torseurs au-dessus de X en terme de formes différentielles.

Théorème 2 *Notons C l’opérateur de Cartier sur $\Gamma(X, \Omega_X^1)$, on a*

$$H^1(X, \alpha_p) = \{\omega \in \Gamma(X, \Omega_X^1) \mid d\omega = 0, C\omega = 0\}$$

et

$$H^1(X, \mu_p) = \{\omega \in \Gamma(X, \Omega_X^1) \mid d\omega = 0, C\omega = \omega\}.$$

Preuve : Voir [14], proposition III.4.14. □

Ainsi, si Y est un α_p -torseur au-dessus de X , il lui correspond une forme différentielle ω_Y . Le fait que $C\omega_Y$ soit nul impose que ω_Y est localement de la forme du . De même, si Y est un μ_p -torseur, on lui associe une forme différentielle ω_Y qui est localement de la forme du/u (car $C\omega_Y = \omega_Y$).

2.2 Définition

Définition 3 Une *courbe semi-stable* sur un corps algébriquement clos k est une courbe connexe, propre, réduite de dimension 1 sur $\text{Spec}(k)$ dont les points singuliers sont doubles ordinaires.

Soit C une courbe semi-stable sur un corps algébriquement clos, on lui associe un graphe appelé *graphe d'intersection de C* dont les sommets sont les composantes irréductibles de C et les arêtes sont les points doubles.

Définition 4 ([7], définition 2.3) Soient k un corps algébriquement clos de caractéristique $p > 0$, Y et X deux courbes semi-stables sur k et $f : Y \rightarrow X$ un morphisme fini de degré p sur chaque composante irréductible. On dit que f est un *revêtement p -admissible* sur k si les conditions suivantes sont réalisées :

- l'image réciproque par f du lieu lisse de X est le lieu lisse de Y .
- soit F une composante irréductible de Y et U l'intersection de F avec le lieu lisse de Y , notons V l'image de U par f , alors la restriction $f|_U : U \rightarrow V$ est un toseur sous un schéma en groupes G_F sur k isomorphe à $\mathbb{Z}/p\mathbb{Z}$, α_p ou μ_p (F sera alors dite étale, additive ou multiplicative). Si f est radiciel, on note ω_F la forme différentielle associée au toseur $U \rightarrow V$.
- Soit a un point double correspondant à une arête orientée d'origine F étale. Si le sommet terminal F' de a est étale alors $\text{card}(f^{-1}(f(a))) = p$. Sinon, a est le seul point de Y au-dessus de $f(a)$ et on note $m(a)$ le conducteur de Hasse de l'extension d'Artin-Schreier $\mathcal{O}_{F,a}/\mathcal{O}_{f(F),f(a)}$.
- Soit a un point double orienté d'origine F radicielle. Alors a est le seul point de Y au-dessus de $f(a)$ et on note $m(a) = -(1 + \text{Ord}_{f(a)}\omega_F)$ et $h(a) = \text{Res}_{f(a)}\omega_F$.
- Si a est un point double orienté tel que a est le seul point de Y au-dessus de $f(a)$ alors $m(\bar{a}) = -m(a)$ et $h(\bar{a}) = -h(a)$.

Définition 5 ([5] §4) Soient k un corps algébriquement clos de caractéristique différente de p , Y et X deux courbes semi-stables sur k et $f : Y \rightarrow X$ un morphisme fini de degré p sur chaque composante irréductible. On dit que f est un *revêtement p -admissible* sur k si les conditions suivantes sont réalisées :

- le morphisme f est étale sur un ouvert dense.

- Soit q un point singulier de X , si f n'est pas étale au dessus de q , alors le morphisme $\hat{\mathcal{O}}_{Y, f^{-1}(q)} \rightarrow \hat{\mathcal{O}}_{X, q}$ est donné par

$$\begin{aligned} k[[u, v]]/(uv) &\rightarrow k[[x, y]]/(xy) \\ (u, v) &\mapsto (x^p, y^p) \end{aligned}$$

Définition 6 Soient k un corps algébriquement clos et $C \rightarrow \text{Spec}(k)$ une courbe semi-stable de genre arithmétique $g \geq 2$. On dira que C est *hyperelliptique* s'il existe une courbe semi-stable Y de même genre arithmétique que C telle que Y soit obtenue de C en rajoutant un nombre fini de droites projectives sur k , une courbe X (semi-stable) de genre arithmétique zéro et un morphisme $Y \rightarrow X$ qui soit un revêtement 2-admissible.

Une courbe $\mathcal{C} \rightarrow S$ de genre $g \geq 2$ sera dite *hyperelliptique* si elle est propre et plate, qu'il existe une involution $\sigma \in \text{Aut}_S(\mathcal{C})$ telle que chacune de ses fibres est hyperelliptique et semi-stable et que pour tout point géométrique s de S , le morphisme $f : Y \rightarrow \mathcal{C}_s$ est tel que $\sigma \circ f = f \circ \sigma'$ où Y est obtenue comme précédemment et σ' est l'involution canonique sur Y .

Dans cette définition, la courbe Y est obtenue de C en ajoutant des composantes \mathbb{P}_k^1 à la place de points lisses (sans créer de cycle) ou bien des chaînes de droites projectives à la place des points singuliers.

Remarque 7 Soient k un corps, $C \rightarrow \text{Spec}(k)$ une courbe lisse hyperelliptique de genre $g \geq 2$, alors C est hyperelliptique au sens de [13].

Proposition 8 *Supposons que K est de caractéristique zéro. Soit $\mathcal{C} \rightarrow \text{Spec}(R)$ une courbe stable dont la fibre générique est lisse et hyperelliptique, alors sa fibre spéciale est hyperelliptique.*

Preuve : Si k est de caractéristique 2, voir [7], proposition 2.9. Si k est de caractéristique différente de 2, la propriété sur les points lisses provient du fait que la caractéristique résiduelle est différente de 2 (on ne peut donc pas avoir de composante radicielle de degré 2 sur une courbe de genre 0) et celle sur les points doubles de [6], proposition 2.3.1. \square

Remarque 9 La proposition 8 et le théorème 31 montrent qu'une courbe stable est hyperelliptique si et seulement si elle est réduction d'une courbe hyperelliptique lisse en caractéristique zéro.

Proposition 10 *Soit $\mathcal{C} \rightarrow \text{Spec}(R)$ une courbe lisse dont la fibre générique est hyperelliptique, alors la fibre spéciale est hyperelliptique.*

Preuve : Voir [13] Proposition 5.14. \square

3 Le schéma \bar{I}_g

On cherche dans cette section à définir un schéma proche de ce que serait l'espace des modules des courbes stables hyperelliptiques s'il existait et à en donner quelques propriétés.

3.1 Construction du schéma \bar{I}_g

On fixe $g \geq 2$. Pour tout schéma S , on définit deux foncteurs.

$$\begin{aligned} \bar{F} : (\text{Schémas}/S) &\rightarrow (\text{Ensembles}) \\ T &\mapsto \left\{ \begin{array}{l} \pi : \mathcal{C} \rightarrow T, \text{ courbe stable de genre } g \\ \text{avec isomorphisme } \mathbb{P}(\pi_*\omega_{\mathcal{C}/T}^{\otimes 3}) \cong \mathbb{P}_T^{5g-6} \end{array} \right\} / \text{iso} \end{aligned}$$

On sait ([2]) que ce foncteur est représentable par un schéma de Hilbert $\bar{H}_{g,S}$. On souhaite alors prouver la représentabilité du foncteur

$$\begin{aligned} \bar{G} : (\text{Schémas}/S) &\rightarrow (\text{Ensembles}) \\ T &\mapsto \left\{ \begin{array}{l} \pi : \mathcal{C} \rightarrow T, \text{ courbe stable} \\ \text{hyperelliptique de genre } g \\ \text{avec isomorphisme } \mathbb{P}(\pi_*\omega_{\mathcal{C}/T}^{\otimes 3}) \cong \mathbb{P}_T^{5g-6} \end{array} \right\} / \text{iso} \end{aligned}$$

Convention : Les sous foncteurs (resp. schémas) ouverts correspondant aux courbes lisses seront notés sans $\bar{}$.

Proposition 11 *Le foncteur G est représentable par un sous schéma fermé de $H_{g,S}$.*

Preuve : On suit la démonstration donnée dans [9], Theorem 3. Soit $\pi : \mathfrak{C} \rightarrow H_g$ la courbe stable universelle de genre g et D l'image du morphisme $f : \mathfrak{C} \rightarrow \mathbb{P}(\pi_*\omega_{\mathfrak{C}/H_g}) = \mathbb{P}$. On définit alors Q comme étant le conoyau du morphisme induit $\mathcal{O}_{\mathbb{P}} \rightarrow f_*\mathcal{O}_{\mathfrak{C}}$. Pour tout point géométrique x de H_g , il ne peut se produire que deux cas :

- i) $f_x : \mathfrak{C}_x \rightarrow D_x$ est un isomorphisme et $Q_x = 0$
- ii) $D_x \cong \mathbb{P}_x^1$ et $Q_x \cong \mathcal{O}_{\mathbb{P}^1}(-g-1)$

(cf [13], section 5), ceci fournissant une caractérisation des courbes hyperelliptiques. Ainsi, seul deux polynômes de Hilbert peuvent arriver pour Q dans la fibre de \mathbb{P} , donc la stratification plate de Q sur H_g (qui existe par [16], Lecture 8) est constituée de deux sous schémas disjoints localement fermés H_1 et H_2 . L'ensemble H_2 correspondant aux courbes stables, il reste alors à montrer que H_2 est fermé. En fait, il suffit de montrer que H_2 est stable par spécialisation car localement fermé. Pour cela, prenons $C/\text{Spec}(K)$ une courbe hyperelliptique et $f : \mathbb{P}(\pi_*\omega_{C/\text{Spec}(K)}^{\otimes 3}) \rightarrow \mathbb{P}_K^{5g-6}$ un isomorphisme. Soit $\mathcal{C} \rightarrow \text{Spec}(R)$ une courbe lisse

dont la fibre générique est isomorphe à C (c'est à dire que la fibre spéciale est dans l'adhérence de C). Il s'agit de voir que \mathcal{C} est hyperelliptique mais ceci vient de la proposition 10. \square

On note alors $I_{g,S}$ le sous schéma fermé de $H_{g,S}$ qui représente le foncteur G . Par suite, notons $\bar{I}_{g,S}$ l'adhérence de $I_{g,S}$ dans $\bar{H}_{g,S}$ muni de la structure de sous schéma fermé réduit. On pose $\bar{I}_g = \bar{I}_{g,\text{Spec}(\mathbb{Z})}$ et $I_g = I_{g,\text{Spec}(\mathbb{Z})}$.

Remarque 12 Soit T un schéma et $\pi : T \rightarrow \bar{I}_g$ un morphisme. Comme on a une inclusion $\bar{I}_g \rightarrow \bar{H}_g$, il correspond à ce morphisme π une classe d'isomorphie de courbe stable. Notons $\mathcal{C} \rightarrow T$ une courbe correspondante. La proposition 8 montre que $\mathcal{C} \rightarrow T$ est hyperelliptique (car chaque fibre est dans l'adhérence d'une courbe hyperelliptique lisse en caractéristique zéro). On a donc un morphisme $\bar{I}_g(T) \rightarrow \bar{G}(T)$. Réciproquement, si \mathcal{C} est un élément de $\bar{G}(T)$, il lui correspond un morphisme $\pi : T \rightarrow \bar{H}_g$ car \mathcal{C} est stable. La courbe \mathcal{C} étant hyperelliptique, le théorème 31 montre que chaque fibre de cette courbe est spécialisation d'une courbe hyperelliptique lisse et donc l'image du morphisme π est (ensemblément) dans \bar{I}_g .

Remarque 13 Soit T un S -schéma réduit. Par définition de \bar{G} , un élément de $\bar{G}(T)$ induit un morphisme $T \rightarrow \bar{H}_{g,S}$ dont l'image est (ensemblément) contenue dans $\bar{I}_{g,S}$. Par suite, ce morphisme se factorise par l'inclusion $(\bar{I}_{g,S})_{red} \rightarrow \bar{H}_{g,S}$ car T est réduit et comme on a un morphisme $(\bar{I}_{g,S})_{red} \rightarrow \bar{I}_{g,S}$, on obtient un morphisme $\bar{G}(T) \rightarrow \bar{I}_{g,S}(T)$. Comme d'autre part on a un morphisme canonique $\bar{I}_{g,S} \rightarrow \bar{G}$, on obtient l'égalité $\bar{G}(T) = \bar{I}_{g,S}(T)$.

On peut enfin citer une proposition qui découle directement du théorème de relèvement des courbes hyperelliptiques dont la démonstration fait l'objet des deux sections à venir.

Proposition 14 *Pour tout corps k algébriquement clos on a une égalité ensembliste*

$$\bar{I}_g \times_{\text{Spec}(\mathbb{Z})} \text{Spec}(k) = \bar{I}_{g,\text{Spec}(k)}$$

Preuve : Comme I_g est un espace de modules fin, on a

$$I_{g,\text{Spec}(k)} = I_g \times_{\text{Spec}(\mathbb{Z})} \text{Spec}(k) \subset \bar{I}_g \times_{\text{Spec}(\mathbb{Z})} \text{Spec}(k)$$

et donc $\bar{I}_{g,\text{Spec}(k)} \subset \bar{I}_g \times_{\text{Spec}(\mathbb{Z})} \text{Spec}(k)$. L'inclusion dans l'autre sens vient alors du théorème de relèvement (en égale caractéristique) des courbes hyperelliptiques stables (théorème 31) qui nous dit que chaque courbe hyperelliptique obtenu comme réduction d'une courbe lisse en caractéristique zéro peut être obtenu comme réduction d'une courbe lisse en égale caractéristique. \square

3.2 Espace des modules en caractéristiques zéro

Notons \mathcal{M}_g (resp. $\bar{\mathcal{M}}_g$) l'espace des modules des courbes lisses (resp. stables) de genre g sur \mathbb{C} , \mathcal{J}_g l'espace des modules des courbes hyperelliptiques lisses de genre g sur \mathbb{C} (c'est en fait la fibre générique de I_g) et $\bar{\mathcal{J}}_g$ l'espace des modules des courbes hyperelliptiques stables de genre g sur \mathbb{C} (on peut le définir comme l'adhérence de \mathcal{J}_g dans $\bar{\mathcal{M}}_g$). Notons Δ_i le lieu des courbes stables de genre g ayant un point singulier de type β_i (noté de type i dans [2], §3 Step III). Il est prouvé dans [2], §3 que Δ_i est irréductible et que $\bar{\mathcal{M}}_g \setminus \mathcal{M}_g = \cup_i \Delta_i$. D'autre part, on montre ([1], section 4 §b) que si $i > 0$ alors $\Delta_i \cap \bar{\mathcal{J}}_g$ est irréductible et on a une décomposition en composantes irréductibles

$$\Delta_0 \cap \bar{\mathcal{J}}_g = \bigcup_{j=0}^{\lfloor (g-1)/2 \rfloor} \Xi_j$$

où Ξ_j est défini de la manière suivante. Soient $C \rightarrow \text{Spec}(k)$ une courbe hyperelliptique et $\sigma : C \rightarrow C$ l'involution hyperelliptique. Si $j > 0$, un point singulier p de C est dit de type α_j si p n'est pas fixe par σ et que les deux courbes se coupant en p et $\sigma(p)$ sont de genre j et $g - j - 1$. Un point singulier p est dit de type α_0 si il est point d'intersection d'une unique composante irréductible de C . L'ensemble Ξ_j est alors le lieu des points de $\bar{\mathcal{J}}_g$ représentant des courbes ayant un point de type α_j .

4 Un théorème de relèvement en égale caractéristique

On démontre dans cette section un théorème de relèvement des revêtements p -admissible en caractéristique p . Pour cela, on commence par donner quelques résultats sur le relèvement des $\mathbb{Z}/p\mathbb{Z}$ et α_p -torseurs en égale caractéristique.

4.1 Torseurs de degré p en caractéristique p

Dans toute cette section, la caractéristique de K sera strictement positive égale à p .

Théorème 15 *Soit X un schéma sur \mathbb{F}_p tel que $\text{Pic}(X) = 0$, alors*

$$H^1(X, \mu_p) = H^0(X, \mathbb{G}_m) / H^0(X, \mathbb{G}_m)^p.$$

En particulier, si $X = \text{Spec}(A)$ est un schéma affine et $\text{Pic}(X) = 0$, alors

$$H^1(X, \mu_p) = \mathbb{G}_m(A) / \mathbb{G}_m(A)^p,$$

et les μ_p -torseurs au-dessus de X sont de la forme $\text{Spec}(B)$ avec $B = A[y]/(y^p - u)$ où u est une unité de A , unique à multiplication par la puissance p -ième d'une unité près.

Preuve : Voir [14], §III.4 *Kummer theory*. □

Remarque 16 Soient $X = \text{Spec}(A)$ un schéma affine sur \mathbb{F}_p et Y un μ_p -torseur au-dessus de X . Une représentation de Y sous la forme $\text{Spec}(A[w]/(w^p - u))$ étant choisie, on peut oublier la structure de μ_p -torseur et munir Y d'une structure (non canonique) de α_p -torseur au-dessus de X en considérant le morphisme $\alpha_p \times Y \rightarrow Y$ correspondant à l'homomorphisme défini par

$$\begin{array}{ccc} A[w]/(w^p - u) & \rightarrow & A[x]/(x^p) \otimes_A A[w]/(w^p - u) \\ w & \mapsto & x \otimes 1 + 1 \otimes w \end{array} . \quad (3)$$

On vérifie sans peine que ceci définit une structure de α_p -torseur.

Théorème 17 Soit X un schéma sur \mathbb{F}_p tel que $H^1(X, \mathcal{O}_X) = 0$ alors

$$H^1(X, \alpha_p) = H^0(X, \mathbb{G}_a) / H^0(X, \mathbb{G}_a)^p$$

En particulier, si $X = \text{Spec}(A)$ alors

$$H^1(X, \alpha_p) = A/A^p$$

et les α_p torseurs au-dessus de X sont de la forme $\text{Spec}(B)$ avec $B = A[y]/(y^p - u)$, où u est un élément de A unique à addition par une puissance p -ième près .

Preuve : Voir [14], §III.4 *Infinitesimal coverings*. □

Remarque 18 Dans le cas des $\mathbb{Z}/p\mathbb{Z}$ torseurs, on a un théorème analogue (c.f. [14], §III.4). Les $\mathbb{Z}/p\mathbb{Z}$ torseurs au-dessus d'un schéma affine $\text{Spec}(A)$ sont de la forme $\text{Spec}(B)$ avec $B = A[y]/(y^p - y - u)$ où u est un élément de A unique à addition près par un élément de la forme $a^p - a$ avec $a \in A$.

Soient $n \geq 0$ un entier et t une uniformisante de R . Considérons le morphisme de schémas en groupes au-dessus de $\text{Spec}(R)$:

$$\phi_n : \mathbb{G}_a \rightarrow \mathbb{G}_a$$

déduit de l'homomorphisme

$$\begin{array}{ccc} \phi_n^\# : R[x] & \rightarrow & R[x] \\ x & \mapsto & x^p - t^{(p-1)n}x. \end{array}$$

Notons \mathcal{M}^n le noyau de ϕ_n , on a

$$\mathcal{M}^n = \text{Spec} (R[w]/(w^p - t^{(p-1)n}w)). \quad (4)$$

On a alors une suite exacte pour la topologie fppf

$$0 \longrightarrow \mathcal{M}^n \longrightarrow \mathbb{G}_a \xrightarrow{\phi_n} \mathbb{G}_a \longrightarrow 0. \quad (5)$$

En effet, par définition de \mathcal{M}^n , il suffit de montrer que ϕ_n est surjective (pour la topologie fppf) et pour cela, il est suffisant de voir que \mathcal{M}^n est plat sur R (cf [14], exercice 2.19), ce qui découle de (4).

Si $n = 0$, \mathcal{M}^n est isomorphe à $\mathbb{Z}/p\mathbb{Z}$. Si $n > 0$, la fibre générique de \mathcal{M}^n est isomorphe à $\mathbb{Z}/p\mathbb{Z}$ et sa fibre spéciale à α_p .

Remarque 19 Si $n > 0$, la réduction de la suite (5) à la fibre spéciale de $\text{Spec}(R)$ donne la suite exacte sur k

$$0 \longrightarrow \alpha_p \longrightarrow \mathbb{G}_a \xrightarrow{x \mapsto x^p} \mathbb{G}_a \longrightarrow 0$$

dont l'exactitude est connue. Dans l'autre cas ($n = 0$), on retrouve la suite exacte d'Artin-Schreier.

Proposition 20 Soient X un schéma de type fini sur $\text{Spec}(R)$ et $n \geq 0$. On suppose que $H_{Zar}^1(X_s, \mathcal{O}_{X_s}) = 0$ et que le morphisme $H_{Zar}^0(X, \mathcal{O}_X) \rightarrow H_{Zar}^0(X_s, \mathcal{O}_{X_s})$ est surjectif. Alors tout $\mathcal{M}^n \times \text{Spec}(k)$ torseur sur $X \times \text{Spec}(k)$ se relève en un \mathcal{M}^n torseur sur X . En particulier, la conclusion est vraie si X est affine.

Preuve : Il suffit de montrer que le morphisme de spécialisation

$$H^1(X, \mathcal{M}^n) \rightarrow H^1(X_s, \mathcal{M}^n \times \text{Spec}(k))$$

est surjectif. Pour cela, considérons la suite exacte

$$0 \rightarrow \mathcal{M}^n \rightarrow \mathbb{G}_a \rightarrow \mathbb{G}_a \rightarrow 0.$$

On a donc un diagramme à ligne exacte donnée par la suite exacte longue de cohomologie (fppf) :

$$\begin{array}{ccccc} H^0(X, \mathbb{G}_a) & \longrightarrow & H^1(X, \mathcal{M}^n) & \longrightarrow & H^1(X, \mathbb{G}_a) \\ \downarrow & & \downarrow & & \downarrow \\ H^0(X_s, \mathbb{G}_a) & \longrightarrow & H^1(X_s, \mathcal{M}^n \times \text{Spec}(k)) & \longrightarrow & H^1(X_s, \mathbb{G}_a). \end{array}$$

Pour tout $i \geq 0$ et tout schéma Y on a, d'après [14], proposition III.3.7,

$$H_{fppf}^i(Y, \mathbb{G}_a) = H_{fppf}^i(Y, \mathcal{O}_Y) = H_{Zar}^i(Y, \mathcal{O}_Y).$$

Les hypothèses faites sur X montrent qu'on a un diagramme commutatif

$$\begin{array}{ccc} H^0(X, \mathbb{G}_a) & \longrightarrow & H^1(X, \mathcal{M}^n) \\ \downarrow & & \downarrow \\ H^0(X_s, \mathbb{G}_a) & \twoheadrightarrow & H^1(X_s, \mathcal{M}^n \times \text{Spec}(k)). \end{array}$$

Ce qui prouve que le morphisme $H^1(X, \mathcal{M}^n) \rightarrow H^1(X_s, \mathcal{M}^n \times \text{Spec}(k))$ est surjectif. \square

Remarque 21 Si $X = \text{Spec}(A)$ est affine, la suite exacte (5) montre que

$$H^1(X, \mathcal{M}^n) = A/\phi_n(A).$$

Par suite, les \mathcal{M}^n -torseurs au dessus de X sont affines de la forme

$$\text{Spec}(A[w]/(w^p - t^n w - a))$$

où a est un élément de A unique à l'addition d'un élément de $\phi_n(A)$ près.

En particulier, étant donné le théorème 17 et la remarque 18, on voit que pour relever des \mathcal{M}^n -torseurs au-dessus d'un schéma affine, il suffit de relever une équation.

4.2 Arbre de Hurwitz

Cette notion est tirée de [7], section 2.5. Nous allégeons ici les notations en ne considérant qu'un graphe et non un graphe de sous groupe.

Soit Γ un graphe orienté, nous noterons $\mathbf{Som}\Gamma$ (resp. $\mathbf{Ar}\Gamma$, resp. $\mathbf{Ar}^+\Gamma$) l'ensemble des sommets (resp. des arêtes orientées, resp. des arêtes positives) de Γ . Si G est un groupe agissant sur Γ , on désignera par $\mathbf{Som}^G\Gamma$ (resp. $\mathbf{Ar}^G\Gamma$) l'ensemble des sommets (resp. des arêtes orientées) de Γ fixes sous l'action de G . On prendra pour convention $v(p) = \infty$ si K est un corps de caractéristique p .

Soit G un groupe p -cyclique agissant sans inversion sur Γ . Considérons la donnée $\mathcal{H} = (\varepsilon, g, d, m, h)$, où :

- $\varepsilon : \mathbf{Ar}\Gamma \rightarrow \mathbb{N}_{>0}$ est une métrique.
- $g : \mathbf{Som}\Gamma \rightarrow \mathbb{N}$ est une application. Si s est un sommet, on appellera $g(s)$ le genre de s .
- $d : \mathbf{Som}\Gamma \rightarrow (p-1)\mathbb{N} \cap [0, v(p)]$ est une application ; pour un sommet s fixé, l'entier $d(s)$ sera appelé sa différente.
- $m : \mathbf{Ar}^G\Gamma \rightarrow \mathbb{Z}$ est une application ; pour une arête a fixe par G , l'entier $m(a)$ sera appelé conducteur de a .

- $h : \mathbf{Ar}^G \Gamma \rightarrow \mathbb{Z}/p\mathbb{Z}$ est une application ; pour une arête a fixe par G , l'entier $h(a)$ sera appelé résidu de l'arête.

Un sommet s est dit additif si $v(p) > d(s) > 0$, étale si $d(s) = 0$ et si K est de caractéristique différente de p on dira que s est multiplicatif si $d(s) = v(p)$. La donnée \mathcal{H} est appelée K -donnée de Hurwitz sur Γ , relativement à l'action de G , si de plus les conditions suivantes sont satisfaites :

- L'action de G est compatible avec la métrique, le genre et la différente, c'est-à-dire que pour tout σ dans G , pour tout sommet s et toute arête a on a $\varepsilon(\sigma.a) = \varepsilon(a)$, $g(\sigma.s) = g(s)$ et $d(\sigma.s) = d(s)$.
- Pour toute arête a fixe par G , si $m(a)$ est non nul alors $m(a)$ est premier à p .
- Pour tout sommet s étale fixe par G et pour toute arête d'origine s fixe par G , on a $m(a) > 0$ et il existe un entier positif ou nul noté $g'(s)$ tel que $2g(s) - 2 = p(2g'(s) - 2) + \sum_{\mathbf{Ar}^G(s)} (m(a) + 1)(p - 1)$ (“formule de Hurwitz”)
- Pour tout sommet s radiciel, on a les relations $\sum_{\mathbf{Ar}^G(s)} (m(a) + 1) = 2 - 2g(s)$ (“degré du diviseur canonique”) et $\sum_{\mathbf{Ar}^G(s)} h(a) = 0$ (“théorème des résidus”)
- Pour toute arête a fixe par G , on a $m(\bar{a}) = -m(a)$ et $h(\bar{a}) = -h(a)$.
- Pour toute arête a fixe par G , on a $d(t(a)) - d(o(a)) = m(a)\varepsilon(a)(p - 1)$ (“loi de variation de la différente”)

Remarque 22 La donnée d'une courbe $\pi : \mathcal{C} \rightarrow \text{Spec}(R)$ semi-stable dont la fibre générique est lisse et d'une action d'un groupe p -cyclique G sur \mathcal{C} fournit naturellement un graphe de Hurwitz. Notons \mathcal{Y} la résolution complète des spécialisations dans \mathcal{C}_s des points fixes de \mathcal{C}_η sous l'action de G . Soit f le morphisme quotient $\mathcal{Y} \rightarrow \mathcal{Y}/G$. On a alors une structure naturelle de torseur sous un schéma en groupe p -cyclique sur l'intersection de chaque composante irréductible avec le lieu lisse de \mathcal{C}_s . Notons Γ le graphe (orienté) d'intersection de la fibre spéciale de \mathcal{Y} . Soit a une arête de Γ fixe par G , d'origine s_1 et de sommet terminal s_2 . Si s_1 est étale, posons $m(a)$ le conducteur de Hasse de l'extension $\mathcal{O}_{s_1,a}/\mathcal{O}_{f(s_1),f(a)}$ et $h(a) = 0$. Si s_1 est radiciel, notons ω la forme différentielle donnée par le théorème 2, $m(a)$ l'ordre de ω en $f(a)$ et $h(a)$ le résidu de ω en $f(a)$. On posera de plus $\varepsilon(a)$ l'épaisseur de la couronne correspondant au point double a dans \mathcal{Y} . Soit s un sommet de Γ , η le point générique de la composante correspondante dans \mathcal{Y}_s et ξ son image dans \mathcal{Y}/G , posons $g(s)$ le genre de la composante correspondante et $d(s)$ la différente de l'extension $\mathcal{O}_{\mathcal{Y},\eta}/\mathcal{O}_{\mathcal{Y}/G,\xi}$.

Par suite, les différentes égalités proviennent de relations classiques entre les différentes données (degré du diviseur canonique, théorème des résidus, loi de variation de la différente) et de l'étude de l'action des groupe p -cyclique sur les couronnes formelles. Ceci fait de $(\Gamma, \varepsilon, g, d, m, h)$ un graphe de Hurwitz. Pour plus de détails, on pourra consulter [6], section 5.3.

4.3 Énoncé du théorème de réalisation

Dans toute la suite, on supposera que les schémas en groupes intervenant dans la définition des revêtements p -admissibles sont isomorphes soit à $\mathbb{Z}/p\mathbb{Z}$, soit à α_p . Cette hypothèse supplémentaire sera justifiée lors de la démonstration du théorème de relèvement des revêtements p -admissibles. On suppose de plus dans cette section que la caractéristique de K est p .

Théorème 23 *Soient X une courbe formelle semi-stable sur R , de fibre spéciale X_s et $f_s : Y_s \rightarrow X_s$ un revêtement p -admissible. Si Γ est un graphe de Hurwitz adapté à (X, f_s) (c'est à dire que les données géométriques provenant de f_s sont compatibles avec les données combinatoires de Γ) alors il existe une courbe formelle semi-stable Y sur R munie d'une action d'un groupe G p -cyclique et un R isomorphisme $\psi : Y/G \rightarrow X$ tel que la fibre spéciale de ψ s'identifie à f_s .*

Corollaire 24 *Soient C et X deux courbes semi-stable sur $\text{Spec}(k)$, X étant de genre nulle et $f : C \rightarrow X$ un revêtement p -admissible. Soient \mathcal{X} un relèvement de X sur $\text{Spec}(R)$ dont la fibre générique est lisse et Γ un graphe de Hurwitz adapté à f . Alors il existe une courbe semi-stable \mathcal{C} sur $\text{Spec}(R)$ et un morphisme $f' : \mathcal{C} \rightarrow \mathcal{X}$ de degré p tels que la fibre générique de ce morphisme soit un revêtement p -admissible entre deux courbes lisses.*

Preuve : Il suffit d'algébriser les données du théorème, ce qui est fait par [3], exposé III, proposition 7.2. \square

Pour la démonstration de ce théorème, on aura besoin d'un théorème de recollement formel que nous rappelons ci-dessous.

Soit X une courbe formelle semi-stable sur R , de fibre générique lisse et géométriquement connexe. On note Γ le graphe orienté d'intersection de X , muni de sa métrique naturelle. Pour tout sommet s de Γ , on notera X_s l'ouvert intersection de la composante correspondante avec le lieu lisse de X . Pour toute arête a de Γ , on notera X_a la couronne formelle $\text{Spf } \widehat{\mathcal{O}_{X,a}}$ et $X_a^o = \text{Spf}(\widehat{\mathcal{O}_{X,a}})_{\eta_{a,o}}$, où $\eta_{a,o}$ est le point générique de X_a correspondant au bord origine. Pour toute arête a de Γ , on dispose alors des morphismes canoniques $i_a : X_a^o \rightarrow X_a$ et $j_a : X_a^o \rightarrow X_{o(a)}$. On note ΔX le schéma formel $\left(\coprod_{s \in \text{Som}(\Gamma)} X_s \right) \amalg \left(\coprod_{a \in \text{Ar}(\Gamma)} X_a \right)$ et q la projection naturelle $q : \Delta X \rightarrow X$.

Soit M un module cohérent sur X . Si s est un sommet (resp. a est une arête) de Γ , on note M_s (resp. M_a) la restriction de M à X_s (resp. X_a). Autrement dit $q^*M = ((M_s), (M_a))$. Pour toute arête a de Γ , on a alors un isomorphisme naturel $\phi_q(M) : i_{a*}M_a \rightarrow j_{a*}M_{o(a)}$. Plus généralement, si $\Delta M = ((M_s), (M_a))$ est un module cohérent sur ΔX , on appelle donnée de descente sur ΔM une collection d'isomorphismes $\phi_a : i_{a*}M_a \rightarrow j_{a*}M_{o(a)}$. Les modules cohérents munis d'une donnée de descente forment une catégorie notée (ΔCoh_X) .

Proposition 25 *Le foncteur $q^* : (\text{Coh}_X) \rightarrow (\Delta\text{Coh}_X)$ est une équivalence de catégories. On a le même résultat en remplaçant la catégorie des modules cohérents par celle des G -algèbres cohérentes galoisiennes (où G est un groupe fini).*

Preuve : Voir [17], Theorem 3.4. □

4.4 Relèvement des points doubles

Considérons un carré cocartésien

$$\begin{array}{ccc} \frac{k[[x,y]]}{(xy)} & \longrightarrow & k((x)) \times k((y)) \\ \bar{\phi} \uparrow & & \uparrow \bar{\phi}^o \times \bar{\phi}^t \\ \frac{k[[x',y']]}{(x'y')} & \longrightarrow & k((x')) \times k((y')) \end{array}$$

où $\bar{\phi}$, $\bar{\phi}^o$ et $\bar{\phi}^t$ sont des morphismes de degré p . On suppose de plus que $\text{Spec}(\bar{\phi}^o)$ (resp. $\text{Spec}(\bar{\phi}^t)$) est un toreur sous un schéma en groupe G^o (resp. G^t) de degré p (c'est à dire isomorphe à $\mathbb{Z}/p\mathbb{Z}$ ou à α_p). Il lui correspond donc un conducteur m^o (resp. m^t) premier à p s'il est non nul et un résidu h^o (resp. h^t). On dira qu'un tel carré cocartésien est p -admissible si on a de plus $m^o = -m^t$, $h^o = -h^t$.

Étant donné un revêtement p -admissible d'un point double comme ci-dessus et un entier strictement positif e , une R -déformation d'épaisseur e est la donnée d'une action de G sur $R[[x, y]]/(xy - t^e)$, d'une injection ϕ de $R[[x', y']]/(x'y' - t^{pe})$ dans $R[[x, y]]/(xy - t^e)$ d'image $(R[[x, y]]/(xy - t^e))^G$ et d'un isomorphisme de la fibre spéciale du carré cocartésien

$$\begin{array}{ccc} \frac{R[[x,y]]}{(xy-t^e)} & \longrightarrow & R[[x]]\{x^{-1}\} \times R[[y]]\{y^{-1}\} \\ \phi \uparrow & & \uparrow \phi^o \times \phi^t \\ \frac{R[[x',y']]}{(x'y'-t^{pe})} & \longrightarrow & R[[x']]\{x'^{-1}\} \times R[[y']]\{y'^{-1}\} \end{array}$$

sur le revêtement du point double considéré.

Proposition 26 *Soient d^o , d^t et e des entiers ($d^o \geq 0$, $d^t \geq 0$ et $e > 0$) tels que $d^t - d^o = em^o(p - 1)$. On suppose que d^o (resp. d^t) est nul si et seulement si G^o (resp. G^t) est étale. Alors il existe une R -déformation du carré cocartésien ci-dessus.*

Preuve : Comme G^o et G^t sont différents de μ_p par hypothèse, on a $m^o \neq 0$. Par suite, quitte à échanger les deux composantes, on peut supposer que $d^t > d^o$. En particulier, $d^t \neq 0$. D'après le théorème de structure des α_p -torseurs et des $\mathbb{Z}/p\mathbb{Z}$ -torseurs, $k((x))$ est de la forme $k((x'))[w]/(w^p + a)$ ou $k((x'))[w]/(w^p - w + a)$

et $k((y))$ de la forme $k((y'))[w]/(w^p + a')$ ou $k((y'))[w]/(w^p - w + a')$. De plus l'ordre de a en x' (resp. a' en y') est premier à p car égal à m^o ou à $-m^o$. Quitte à changer les paramètres x' et y' , on peut supposer, puisque $k((x'))$ et $k((y'))$ sont complets et qu'on peut donc y prendre des racines q -ième d'éléments de valuation zéro lorsque q est premier à la caractéristique de k , que a est une puissance de x' et a' est une puissance de y' . Soit $C \rightarrow \text{Spec}(K)$ le revêtement p -cyclique de \mathbb{P}_K^1 défini par $w^p - t^{d^t}w + T^{m^o}$ (où t est une uniformisante de R et T est un paramètre de \mathbb{P}_K^1). Soit P le modèle semi-stable sur R de la droite projective dont la réduction est formée de deux droites projectives sur k se croisant en un point double z correspondant à la couronne formelle ouverte

$$0 < v(T) < \frac{p(d^t - d^o)}{m^o(p-1)} = pe.$$

Le revêtement s'étend en un revêtement p -cyclique C_R de P_R . Celui-ci est alors semi-stable. En effet, la réduction de C_R à la fibre spéciale est composée de deux courbes définies par les réductions de $w^p - t^{d^t}w - T^{m^o}$ (notée par la suite C_1) et $w^p - t^{d^o}w - S^{m^o}$ (notée C_2) (où on a noté $S = t^{pe}/T$). Pour montrer qu'elles se coupent en un point double ordinaire, il est suffisant de montrer que $g(C) = g(C_1) + g(C_2)$.

Notons τ le point d'intersection de C_1 et C_2 . Tout d'abord, on a $g(C) = \frac{(p-1)(m^o-1)}{2}$. Supposons que d^o est non nul (les deux composantes sont donc radicielles). Alors C_1 possède une singularité en $T = 0$ (c'est à dire en τ) et C_2 en $S = 0$ (c'est à dire à l'infini). Montrons que toute la contribution au genre de la fibre spéciale de C est apportée par la singularité de C_2 à l'infini. En effet, le genre de C_2 est $\frac{(p-1)(m^o-1)}{2}$ (on peut le calculer par exemple en considérant une déformation lisse en caractéristique zéro de la forme $w^p - S^{m^o} + \varepsilon$), on obtient donc $g(C) \leq g(C_1) + g(C_2)$ d'où l'égalité.

Supposons maintenant que $d^o = 0$ (c'est à dire C_2 étale et C_1 radicielle). Sous cette hypothèse C_2 est lisse de genre $\frac{(m^o-1)(p-1)}{2}$ et donc, de même que précédemment, $g(C) \leq g(C_1) + g(C_2)$ ce qui prouve que C_R est semi-stable.

Par suite, le morphisme $\hat{\mathcal{O}}_{P_R, z} \rightarrow \hat{\mathcal{O}}_{C_R, a}$ fournit la déformation souhaitée. \square

4.5 Preuve du théorème 23

Notons Γ_X le graphe d'intersection de la fibre spéciale de X . Quitte à changer l'orientation des arêtes de Γ non fixes sous l'action de G , on peut supposer que l'orientation de Γ est compatible avec cette action (c'est à dire qu'une arête positive est envoyée sur une arête positive via l'action d'un élément de G). On appellera arête positive sur le graphe d'intersection Γ_X l'image d'une arête positive de Γ_X par l'application $f : \Gamma \rightarrow \Gamma_X$ déduite de f_s .

Soit x un sommet de Γ_X , notons V_x l'ouvert lisse de la composante correspondante dans X (celui-ci est affine dans le cas qui nous intéresse). Si x est

l'image d'un sommet de Γ fixe sous l'action de G , on note n_x l'entier défini par $d(f^{-1}(x)) = n_x(p-1)$ et $f_x : U_x \rightarrow V_x$ le torseur sous \mathcal{M}^{n_x} qui relève le torseur $f_{\text{Spec}(k)}$ sur $V_x \times \text{Spec}(k)$ (ce qui est possible d'après la proposition 20). Si $s = f^{-1}(x)$, on pose $W_s := U_x$. Si x est l'image d'un sommet non fixe s de Γ , on pose $U_x := \coprod_{\sigma \in G} W_{\sigma.s}$ où $W_{\sigma.s}$ s'envoie isomorphiquement sur V_x . Dans tout les cas, \mathcal{O}_{U_x} est naturellement un G -faisceau sur V_x .

Soit a une arête de Γ fixe par G . Considérons le revêtement p -admissible du point double $f(a)$:

$$\begin{array}{ccc} \hat{\mathcal{O}}_{Y_s,a} & \longrightarrow & \hat{\mathcal{O}}_{Y_s,a}^o \times \hat{\mathcal{O}}_{Y_s,a}^t \\ \uparrow & & \uparrow \\ \hat{\mathcal{O}}_{X_s,f(a)} & \longrightarrow & \hat{\mathcal{O}}_{X_s,f(a)}^o \times \hat{\mathcal{O}}_{X_s,f(a)}^t. \end{array}$$

Le graphe Γ étant un graphe de Hurwitz, les données combinatoires vérifient les hypothèses de la proposition 26, il existe donc une R -déformation du carré cocartésien précédent

$$\begin{array}{ccc} \hat{\mathcal{O}}_a & \longrightarrow & \hat{\mathcal{O}}_a^o \times \hat{\mathcal{O}}_a^t \\ \uparrow & & \uparrow \\ \hat{\mathcal{O}}_{X,f(a)} & \longrightarrow & \hat{\mathcal{O}}_{X,f(a)}^o \times \hat{\mathcal{O}}_{X,f(a)}^t \end{array}$$

telle que la différentielle au bord origine (resp. terminal) soit égale à $d(o(a))$ (resp. $d(t(a))$). Notons $\mathcal{L}_{f(a)} := \hat{\mathcal{O}}_a$. On regardera $\mathcal{L}_{f(a)}$ comme un G -faisceau gratte-ciel en $f(a)$ sur X .

Si a est une arête non fixe de Γ , on note $\hat{\mathcal{O}}_a = \hat{\mathcal{O}}_{X,f(a)}$. Par suite, l'algèbre $\mathcal{L}_{f(a)} := \prod_{b \in f^{-1}(f(a))} \hat{\mathcal{O}}_b$ est canoniquement munie d'une action de G , on la regardera comme un G -faisceau gratte-ciel en $f(a)$ sur X .

Il reste à construire des données de descente. Soit a une arête de Γ fixe par G . Notons $\hat{\mathcal{O}}_a^o$ le localisé complété de $\hat{\mathcal{O}}_a$ au bord origine de a et $\hat{\mathcal{O}}_{W_{o(a)}}$ le localisé complété de $\mathcal{O}_{W_{o(a)}}$ au point correspondant à a . Comme m^o est premier à p , la remarque 21 nous permet de trouver un paramètre T tel que $\hat{\mathcal{O}}_a^o$ soit de la forme $R[[T]][w]/(w^p - t^{d_o}w - T^{m_o})$ et un paramètre T' tel que $\hat{\mathcal{O}}_{W_{o(a)}}$ soit de la forme $R[[T']][w]/(w^p - t^{d_o}w - T'^{m_o})$. Par suite, on obtient un isomorphisme $\hat{\mathcal{O}}_a^o \rightarrow \hat{\mathcal{O}}_{W_{o(a)}}$ compatible avec l'action de G en identifiant T et T' .

Soient a une arête non fixe, les isomorphismes compatibles avec l'action de G découle directement de la définition de $U_{o(f(a))}$ et de $\mathcal{L}_{f(a)}$. Par suite, (U_s, \mathcal{L}_a) est une G -algèbre cohérente munie de donnée de descente. La proposition 25 fournit alors le relèvement souhaité. \square

5 Un théorème de relèvement des courbes hyperelliptiques

On souhaite montrer dans cette section que toute courbe hyperelliptique C sur $\text{Spec}(k)$ se relève en une courbe hyperelliptique \mathcal{C} sur $\text{Spec}(R)$ dont la fibre générique est lisse et ceci indépendamment des caractéristiques de K et k . Les techniques utilisées n'étant pas différentes de celles utiles pour le relèvement des revêtements p -admissibles en général, on traitera ce dernier cas.

Pour cela, on procède tout d'abord à une réduction au cas de certains toiseurs qu'on sait relever dans le cas où la caractéristique de k est égale à p . On construit ensuite des données de Hurwitz adaptées à C . Finalement, en appliquant différents théorèmes de relèvement on obtient le résultat désiré.

5.1 Réduction au cas des α_p et $\mathbb{Z}/p\mathbb{Z}$ -toiseurs

On suppose ici que la caractéristique du corps k est p .

Théorème 27 *Soit $Y \rightarrow X$ un revêtement p -admissible sur k , X étant une courbe de genre nulle. Quitte à changer la structure de toiseur, on peut supposer que tous les toiseurs intervenant dans la description de ce revêtement p -admissible sont soit des $\mathbb{Z}/p\mathbb{Z}$ -toiseurs, soit des α_p -toiseurs.*

Preuve : Notons Γ_X le graphe d'intersection de X . La courbe X étant de genre nulle, Γ_X est en fait un arbre. Soit T une composante de Y telle que l'intersection U de T avec le lieu lisse de Y soit un μ_p -toiseurs au-dessus d'un ouvert affine $U' = \text{Spec}(A)$ d'une composante de X , U' est donc isomorphe à un ouvert affine de \mathbb{P}_k^1 . On a alors $\text{Pic}(U') = 0$ et d'après le théorème de structure des μ_p -toiseurs, U est affine isomorphe à $\text{Spec}(B)$ avec $B = A[w]/(w^p - u)$, où u est une unité de A . Le corps k étant algébriquement clos, on a $u = \prod (x - \alpha_i)^{n_i}$ et on peut supposer, sans changer la structure de μ_p -toiseurs, que $\sum n_i = 0$ (c'est à dire qu'il n'y a pas de ramification à l'infini) et que les n_i sont premiers à p . Supposons un tel choix fait pour chaque composante qui est localement un μ_p -toiseur au-dessus d'un ouvert affine de X . Dans la suite, u sera considérée comme étant une fonction méromorphe sur l'adhérence de U' dans X .

Soit Z une composante de Y dont l'intersection avec T est non vide. Notons a le point d'intersection des images de Z et T dans X . Notons V l'intersection de Z avec le lieu lisse de Y et V' son image dans X . Alors V' est affine isomorphe à $\text{Spec}(D)$. Supposons dans un premier temps que V est un α_p ou un $\mathbb{Z}/p\mathbb{Z}$ -toiseurs au-dessus de V' . Le conducteur de U sur U' ne peut être égal à 0 (c'est à dire que du/u ne peut avoir de pôle logarithmique, ce qui équivaut à dire que u n'a ni pôle ni zéro en a) car les conditions de compatibilité imposeraient que le conducteur de V' sur V en a est nul, ce qui est impossible car V n'est pas un μ_p -toiseur au-dessus de V' . Par suite, le fait de munir U de la structure de α_p -toiseurs sur U'

définie par (3) ne change pas le conducteur de U sur U' en a et on a donc toujours les conditions de compatibilités.

$$\begin{array}{ccccc}
& & \text{Spec}(E) \cong Z \setminus \text{Sing}Y = V & \hookrightarrow & Z \\
& & \downarrow & & \searrow \\
\text{Spec}(B) \cong T \setminus \text{Sing}Y = U & \xrightarrow{\quad} & T & \xrightarrow{\quad} & Y \\
& \downarrow & \downarrow & & \downarrow \\
& & \text{Spec}(D) \cong V' & & X \\
& \downarrow & & \swarrow & \\
\text{Spec}(A) \cong U' & \xrightarrow{\quad} & & &
\end{array}$$

Supposons maintenant que V est un μ_p -torseur au-dessus de V' , il est alors de la forme $\text{Spec}(E)$, $E = D[v]/(v^p - u')$ avec $u' = \prod (x - \beta_j)^{m_j}$, $\sum m_j = 0$ et m_j premier à p . Si le conducteur de V sur V' est non nul (c'est à dire que u n'a ni pôle ni zéro en a), le fait de changer de structure de μ_p en α_p -torseur selon (3) respecte les conditions de compatibilités (comme précédemment), on va donc supposer qu'il est nul. On peut supposer que le point a correspond à α_0 (resp. β_0) dans U' (resp. V'). Par suite, les conditions de compatibilités sur les résidus montrent que $m_0 + n_0$ est nul modulo p . D'autre part, le théorème des résidus montre que u' possède un autre pôle ou zéro (noté β_1) car m_0 est premier à p et $\sum m_i = 0$ modulo p . Posons $u'' = (x - \beta_0)^{-m_0 - n_0} (x - \beta_1)^{m_0 + n_0} u'$. Le fait que $m_0 + n_0$ soit nul modulo p montre que $V = \text{Spec}(D[v]/(v^p - u'))$ et $\text{Spec}(D[v]/(v^p - u''))$ sont isomorphes comme μ_p -torseurs, on effectue donc le changement de u' en u'' . Par suite, si on muni $\text{Spec}(D[v]/(v^p - u''))$ et $\text{Spec}(A[v]/(v^p - u))$ de la structure de α_p -torseurs donnée par (3), les conducteurs et résidus restent compatibles. Le fait que Γ_X soit un arbre montre qu'on peut propager le changement de structure à toutes les composantes. \square

5.2 Construction des données de Hurwitz

Proposition 28 *Soient Y et X des courbes semi-stables sur k , Y étant de genre $g \geq 2$ et X de genre zéro, $f : Y \rightarrow X$ un revêtement p -admissible. On suppose que si la caractéristique de K est p , la description du revêtement p -admissible f ne fait pas intervenir des μ_p -torseurs. Alors, quitte à faire une extension finie de K , il existe des données de Hurwitz sur le graphe d'intersection de Y adaptées à f .*

Preuve : Notons Γ le graphe d'intersection de Y et Γ_X celui de X . Comme X est de genre nulle, Γ_X est un arbre et peut donc être muni d'un ordre partiel, on peut

de plus supposer qu'il existe un plus grand élément noté par la suite s_0 . On note G le groupe p -cyclique agissant sur le graphe de Y . Choisissons une orientation sur Γ_X compatible avec cette ordre partiel (c'est à dire qu'une arête est positive si son sommet terminal est plus petit que son origine) et relevons la (via f) en une orientation de Γ . On va construire des applications sur Γ_X qui, une fois relevées en des applications sur Γ via l'application f , feront de ce dernier un graphe de Hurwitz.

Dans le cas où la caractéristique de K est p , la démonstration est analogue au cas où la caractéristique est zéro car il n'intervient pas de μ_p -torseurs. On se contente donc de la démonstration dans le cas de la caractéristique zéro.

Par définition d'un revêtement p -admissible, le morphisme f nous fournit des applications $g : \mathbf{Som}\Gamma_X \rightarrow \mathbb{N}$, $m : \mathbf{Ar}^+\Gamma_X \rightarrow \mathbb{Z}$ et $h : \mathbf{Ar}^+\Gamma_X \rightarrow \mathbb{Z}/p\mathbb{Z}$ (on fixe m et h à zéro pour les arêtes non fixes par G) reliée entre elle grace à la formule de Hurwitz dans le cas des composantes étales, l'expression du degré du diviseur canonique et le théorème des résidus. On prolonge alors h et m à $\mathbf{Ar}\Gamma_X$ tout entier en utilisant les conditions de compatibilités. Il nous reste à définir $\varepsilon : \mathbf{Ar}\Gamma_X \rightarrow \mathbb{N}_{>0}$ et $d : \mathbf{Som}\Gamma_X \rightarrow (p-1)\mathbb{N} \cap [0, v(p)]$ vérifiant la loi de variation de la différentielle. On va construire ces deux applications par récurrence sur la profondeur (relativement à l'ordre partiel considéré) des points dans le graphe Γ_X .

Dans un premier temps, on va chercher d et ε à valeur dans \mathbb{Q} . Étant donné que la courbe est stable de genre au moins 2, il y a au moins un sommet étale, éventuellement non fixe sous G (sinon C serait de genre nulle) et, quitte à changer l'ordre partiel sur Γ_X , on peut supposer que s_0 est étale. Posons $d(s_0) = 0$

Soit a une arête de Γ_X , on suppose que d est déjà défini en l'origine s_1 de a . Notons s_2 le sommet terminal de a .

Lemme 29 *Soit a un point double d'origine s_1 multiplicative et de sommet terminal s_2 additive, alors $m(a) < 0$.*

Preuve : La forme différentielle définissant la structure de μ_p -torseur localement au-dessus de s_1 est de la forme du/u . Supposons tout d'abord que u ait un pôle ou un zéro en a , du/u a alors un pôle en a , donc $-1 = -(m(a) + 1)$ et par suite $m(a) = 0$. Or s_2 n'est pas multiplicatif donc $m(a) \neq 0$. La fonction méromorphe u ne peut donc pas s'annuler en a . Soit alors T un paramètre de la composante correspondant à s_1 et qui soit nul en a . Ainsi, on peut supposer que u est de la forme $1 + T^m$ avec $m \neq 0$ car la composante au-dessus de s_1 est réduite. Comme u n'a pas de pôle, on a $m > 0$ et donc $m(a) + 1 = -m < 0$, c'est à dire $m(a) < 0$. \square

Remarque 30 La démonstration précédente montre que si a est un point double d'origine multiplicative alors $m(a) \leq 0$. En particulier si les sommets origines et terminaux de a sont multiplicatifs, alors $m(a) = 0$.

- Si s_2 est étale, posons $d(s_2) = 0$. Comme on a $m(\bar{a}) > 0$ (car \bar{a} est une arête d'origine étale) et que $d(s_1) \geq 0$, on peut prendre $\varepsilon(a) = -\frac{d(s_1)}{m(a)(p-1)} \geq 0$.
- Si s_2 est multiplicatif, posons $d(s_2) = v(p)$. On a alors plusieurs possibilités :
 - si s_1 est étale alors $m(a) > 0$ et $d(s_1) = 0$ et donc on peut prendre $\varepsilon(a) = \frac{v(p)}{m(a)(p-1)}$.
 - si s_1 est multiplicatif, alors $d(s_1) = v(p)$ et $m(a) = 0$. On pose $d(s_2) = v(p)$ et on peut prendre $\varepsilon(a)$ quelconque.
 - si s_1 est additif alors par le lemme 29 $m(a) > 0$ et on peut prendre $\varepsilon(a) = \frac{v(p)-d(s_1)}{m(a)(p-1)}$.
- Si s_2 est additif
 - Si s_1 est étale alors $m(a) > 0$ et $d(s_1) = 0$, on peut donc trouver $\varepsilon(a)$ tel que $0 < (p-1)\varepsilon(a)m(a) < v(p)$ et par suite, on pose $d(s_2) = (p-1)\varepsilon(a)m(a)$
 - Si s_1 est additif on a $0 < d(s_1) < v(p)$ donc on peut prendre $\varepsilon(a)$ tel que $0 < d(s_1) + (p-1)m(a)\varepsilon(a) < v(p)$, on pose alors $d(s_2) = d(s_1) + m(a)\varepsilon(a)(p-1)$
 - Si s_1 est multiplicatif, par le lemme 29 on a $m(a) < 0$ et donc on peut trouver $\varepsilon(a)$ vérifiant $0 < v(p) + (p-1)m(a)\varepsilon(a) < v(p)$, on pose alors $d(s_2) = v(p) + m(a)\varepsilon(a)(p-1)$.

Dans tout les cas, on peut trouver $d(s_2)$ et $\varepsilon(a)$ tel que

$$d(s_2) - d(s_1) = (p-1)m(a)\varepsilon(a).$$

On peut donc construire par récurrence des applications ε et d à valeur rationnelle vérifiant les hypothèses. Par suite, quitte à faire une extension finie de K , on peut multiplier $v(p)$ par une constante λ entière de sorte que la solution rationnelle précédente, une fois multipliée par λ , est entière. On trouve ainsi des applications à valeur entière sur l'arbre d'intersection de X . En remontant ces applications via f , on fait de Γ un arbre de Hurwitz. \square

5.3 Théorème de relèvement des courbes hyperelliptiques stable

Théorème 31 *Soit $C \rightarrow \text{Spec}(k)$ une courbe hyperelliptique. Alors, quitte à faire une extension finie de R , il existe une courbe $\mathcal{C} \rightarrow \text{Spec}(R)$ hyperelliptique semi-stable dont la fibre générique est lisse et dont la fibre spéciale est isomorphe à C .*

Preuve : Dans le cas où C est lisse il suffit de relever une équation de k à R . On peut donc supposer que C n'est pas lisse.

Supposons tout d'abord que la caractéristique de k est 2. D'après la réduction précédente (théorème 27), on peut supposer que tous les torseurs intervenant dans

la définition d'un revêtement 2-admissible associé à C (noté $Y \rightarrow X$) sont des $\mathbb{Z}/2\mathbb{Z}$ ou des α_2 -torseurs. Par suite, grâce à la proposition 28, on peut construire, quitte à faire une extension finie de K , des données de Hurwitz adaptées au revêtement $Y \rightarrow X$ sur le graphe d'intersection Γ de la fibre spéciale de Y . Quitte à faire une extension du corps K , on peut trouver un modèle \mathcal{X} de X tels que les épaisseurs des points doubles de \mathcal{X} soient compatibles avec celles données par le graphe Γ . Si K est de caractéristique 2, on applique le théorème 23 et dans le cas où K est de caractéristique nulle, on applique le théorème (2.11) de [7] ce qui nous donne une courbe stable $\mathcal{Y} \rightarrow \text{Spec}(R)$. Par suite, en contractant les composantes exceptionnelles de \mathcal{Y} , on obtient la courbe souhaitée.

Regardons maintenant le cas où la caractéristique de k est différente de 2. Il existe alors un revêtement 2-admissible $f : Y \rightarrow X$. D'autre part, on a une action de $G = \mathbb{Z}/2\mathbb{Z}$ sur Y dont le quotient est X . Par définition d'un revêtement 2-admissible en caractéristique différente de 2, cette action est Kumerienne. Comme le cardinal de G est 2, on peut appliquer le théorème 4.2.1 de [6] qui nous prouve que cette action se relève en un modèle semi-stable $\mathcal{Y} \rightarrow \text{Spec}(R)$. Finalement, en contractant les composantes exceptionnelles de \mathcal{Y} , on obtient la courbe recherchée. \square

6 Démonstration de l'inégalité (2)

Notons $S = \text{Spec}(R)$. Soit $i : \bar{I}_g \rightarrow \bar{H}_g$ l'inclusion, δ le diviseur du bord (c'est à dire $\bar{H}_g \setminus H_g$), on sait ([2], Corollary 1.9) que c'est un diviseur à croisements normaux) et λ le fibré de Hodge sur \bar{H}_g (c'est à dire que pour une courbe stable $\pi : \mathcal{C} \rightarrow T$ à laquelle correspond un morphisme $\mu : T \rightarrow \bar{H}_g$ on a $\mu^*\lambda = \det(\pi_*\omega_{\mathcal{C}/T})^{\otimes 8g+4}$). Dans le cas où le schéma de base est le spectre d'un anneau de valuation discrète, on a les interprétations suivantes :

Lemme 32 *Soient $\mathcal{C} \rightarrow S$ une courbe stable dont la fibre générique est lisse correspondant à un morphisme $\pi : S \rightarrow \bar{H}_g$. Soient q_1, \dots, q_r les points singuliers de \mathcal{C}_s d'épaisseurs respectives $e(q_1), \dots, e(q_r)$, t une équation minimale de δ en $\pi(s)$. Alors $\sum_{i=1}^r e(q_i) = v_K(\pi^\#(t))$.*

Preuve : Voir [10], section 5. \square

Remarque 33 Cette interprétation est encore vérifiée par l'image réciproque de δ sur \bar{I}_g (notée δ').

Soit $\pi : \mathcal{C} \rightarrow S$ une courbe stable hyperelliptique dont la fibre générique est lisse. Notons Λ la section canonique du fibré de Hodge. Si Λ_0 est une base de $\pi^*\lambda$, il existe $a \in R$ tel que $\Lambda = a\Lambda_0$. On note alors $\text{Ord}_s(\Lambda) = v(a)$ et δ_s la somme des épaisseurs des points doubles de la fibre spéciale de \mathcal{C} .

Lemme 34 Soit X un schéma réduit ayant un nombre fini de composantes irréductibles. Soient $\mathcal{L} \in \text{Pic}(X)$, U un ouvert dense de X et $s \in \mathcal{K}_X(U)$ tel que $\mathcal{L}|_U = s\mathcal{O}_U$. Alors il existe un diviseur de Cartier $D \in \text{Div}(X)$ dont le support est dans $X \setminus U$ et $\mathcal{L} \cong \mathcal{O}_X(D)$.

Preuve : On choisit un diviseur de Cartier (U_i, f_i) dans la classe de \mathcal{L} dans $\text{Pic}(X)$. Par suite, sur $U \cap U_i$, on a

$$\mathcal{L}|_{U \cap U_i} = s\mathcal{O}_{U \cap U_i} = f_i^{-1}\mathcal{O}_{U \cap U_i}.$$

Ainsi, $s^{-1}f_i^{-1} \in \mathcal{O}_{U \cap U_i}^*$. D'autre part, d'après les hypothèses faites sur X , on a $\text{Ass}(\mathcal{O}_X) \subset U$ donc s s'étend en une section de $\mathcal{K}_X(X)$. Par suite, (U_i, sf_i) est un diviseur de Cartier équivalent à \mathcal{L} dont le support est dans $X \setminus U$. \square

Notons Λ' la section canonique du fibré de Hodge sur \bar{I}_g (calculée à partir de la courbe stable hyperelliptique universelle). Comme \bar{I}_g est réduit et n'a qu'un nombre fini de composante irréductible, on a une injection

$$\lambda' \rightarrow \mathcal{K}_{\bar{I}_g}.$$

D'autre part on sait que $\lambda'|_{I_g} = \Lambda'\mathcal{O}_{I_g}$ (car Λ n'a ni pôle ni zéro dans I_g d'après le calcul fait en annexes) et donc grâce au lemme précédent, on peut trouver un diviseur de Cartier D à support dans $\bar{I}_g \setminus I_g$ tel que $\mathcal{O}_{\bar{I}_g}(D) \cong \lambda'$.

Lemme 35 Soit $\pi : S \rightarrow \bar{I}_g$ un morphisme correspondant à une courbe stable hyperelliptique $\mathcal{C} \rightarrow S$, alors $\text{mult}(\pi^*D) = \text{Ord}_s(\Lambda)$.

Preuve : Soit Λ_0 une base locale de λ' . La fonction méromorphe $a = \Lambda'/\Lambda_0$ est alors une équation locale du diviseur de Cartier D . On a, par définition, $\text{mult}(\pi^*D) = \text{mult}_R(a) = \text{Ord}_s(\Lambda)$. \square

Lemme 36 Soit A un anneau local de dimension 1, on a

$$\{f \in \text{Frac}(A) \mid \text{mult}_A(f) \geq 0\} = \tilde{A}$$

où \tilde{A} est le normalisé de A dans $\text{Frac}(A)$.

Preuve : Notons \mathfrak{m} l'idéal maximal de A et \mathfrak{n} l'idéal maximal de \tilde{A} . Le lemme découle alors directement de la formule

$$\text{mult}_A(f) = [\tilde{A}/\mathfrak{n} : A/\mathfrak{m}] \text{mult}_{\tilde{A}}(f)$$

et du fait que \tilde{A} étant un anneau local de dimension 1 et normal, c'est un anneau de valuation discrète. \square

Lemme 37 *Le diviseur de Weil associé au diviseur de Cartier $D - g\delta'$ est effectif.*

Preuve : D'après le lemme précédent et la définition du diviseur de Weil associé à un diviseur de Cartier, il suffit de montrer que pour tout point générique ξ du bord $\bar{I}_g \setminus I_g$ de codimension 1 dans \bar{I}_g et toute équation locale f du diviseur de Cartier $D - g\delta'$ au voisinage de ξ , on a $f \in \tilde{\mathcal{O}}_{\bar{I}_g, \xi}$.

Notons $\bar{I}_g \setminus I_g = \cup K_j$ la décomposition en composantes irréductibles du bord, ξ_j le point générique de K_j et A_j le normalisé de l'anneau local du point ξ_j . Supposons que ξ_j n'est pas dans $\bar{I}_{g, \text{Spec}(\mathbb{Q})}$. Notons s l'image de ξ_j dans $\text{Spec}(\mathbb{Z})$ et \bar{s} un point géométrique correspondant. Comme $I_{g,s}$ est dense dans $\bar{I}_{g,s}$, les points de $\bar{I}_{g,s} \setminus I_{g,s}$ sont de codimension supérieure à 1 dans $\bar{I}_{g,s}$. De plus, d'après la proposition 14, on a une égalité ensembliste $\bar{I}_g \times \bar{s} = \bar{I}_{g,\bar{s}}$, il s'ensuit que ξ_j est de codimension supérieure à 2 dans \bar{I}_g (on a montré en outre que (ensemblément) $(\bar{I}_g \setminus I_g) \times \bar{s} = \bar{I}_{g,\bar{s}} \setminus I_{g,\bar{s}}$). Il suffit donc de regarder aux points génériques du bord qui sont dans $\bar{I}_{g, \text{Spec}(\mathbb{Q})}$.

Supposons donc que ξ_j est dans $\bar{I}_{g, \text{Spec}(\mathbb{Q})}$ et notons \mathcal{C} la courbe stable hyperelliptique correspondant au morphisme $\text{Spec}(A_j) \rightarrow \bar{I}_g$. La fibre générique de \mathcal{C} est lisse. Par suite, d'après les lemmes 32 et 35, on a $\text{mult}_{A_j}(D - g\delta') = \text{mult}_{A_j}(D) - g \cdot \text{mult}_{A_j}(\delta') = \text{Ord}_s(\Lambda) - g\delta_s \geq 0$. D'après le calcul fait en caractéristique zéro (cf annexe A) on a $\text{Ord}_s(\Lambda) - g\delta_s \geq 0$ donc $\text{mult}_{A_j}(D - g\delta') \geq 0$. \square

Soit $\mathcal{C} \rightarrow S$ une courbe stable hyperelliptique à fibre générique lisse muni d'un plongement tricanonique. Il lui correspond un morphisme

$$\pi : S \rightarrow \bar{H}_g.$$

Comme la courbe \mathcal{C} est hyperelliptique et que R est réduit, ce morphisme se factorise par \bar{I}_g (cf Remarque 13) et on a le diagramme

$$\begin{array}{ccc} S & \xrightarrow{\pi} & \bar{H}_g \\ & \searrow \pi' & \uparrow \\ & & \bar{I}_g \end{array}$$

Proposition 38 *On a $\text{Ord}_s(\Lambda) \geq g\delta_s$.*

Preuve : Notons x l'image du point générique de S par π' et A l'anneau local de x dans \bar{I}_g . On a alors un morphisme $\pi^\# : A \rightarrow R$ qui se factorise par le normalisé \tilde{A} de A car R est normal. Par suite, si f est une équation locale de $D - g\delta'$ au voisinage de x , on sait que $f \in \tilde{A}$ car le diviseur de Weil associé à $D - g\delta'$ est effectif (cf lemmes 36 et 37). Ainsi, l'image de f par $\pi^\#$ est dans R . L'ordre de f dans R étant égale à $\text{Ord}_s(\Lambda) - g\delta_s$ (cf lemme 32 et 35), on trouve le résultat. \square

Le même raisonnement pouvant être tenu pour le diviseur $g^2\delta' - D$, l'inégalité (2) est démontrée. \square

On obtient alors directement, à partir de [8] Theorem 6 et Theorem 7.1, le corollaire suivant

Corollaire 39 *Soient K un corps de nombre, $S = \text{Spec}(\mathcal{O}_K)$, $\pi : \mathcal{C} \rightarrow S$ une courbe stable de genre $g \geq 2$ dont la fibre générique est hyperelliptique. Alors il existe une constante $c'(\|\cdot\|_{\text{Mod}}, \varepsilon)$ ne dépendant que de $\|\cdot\|_{\text{Mod}}$ et de ε telle qu'on ait l'inégalité suivante*

$$(\omega_{\mathcal{C}/S} \cdot \omega_{\mathcal{C}/S}) \leq \left(3 \frac{g^2 + \varepsilon}{2g + 1} - 1\right) \left(\sum_{\mathfrak{p} \in S} \delta_{\mathfrak{p}} \log N_{\mathfrak{p}} + \sum_{\sigma: K \rightarrow \mathbb{C}} \delta_{\sigma}(\mathcal{C}_{\sigma}) \right)$$

où $N_{\mathfrak{p}}$ désigne le cardinal du corps résiduel de S en \mathfrak{p} et où $(\omega_{\mathcal{C}/S} \cdot \omega_{\mathcal{C}/S})$ et $\delta_{\sigma}(\mathcal{C}_{\sigma})$ sont définis à l'aide de la métrique $\|\cdot\|$ sur $\omega_{\mathcal{C}/S}$.

A Calcul en caractéristique zéro

On se propose ici de démontrer explicitement l'inégalité (2) en caractéristique zéro pour les courbes stables hyperelliptiques sur un anneau de valuation discrète dont la fibre spéciale possède exactement deux composantes irréductibles. Ce calcul reprend les idées exposées dans [8]. Toutefois, la partie combinatoire n'est pas utile ici car les courbes sont suffisamment simples.

Dans toute cette section, R sera un anneau de valuation discrète dont la caractéristique résiduelle est zéro. On note $S = \text{Spec}(R)$, $\mathcal{C} \rightarrow S$ une courbe stable hyperelliptique de genre $g \geq 2$ dont la fibre générique est lisse et dont la fibre spéciale possède deux composantes irréductibles ou bien une seule composante irréductible et un point singulier.

Proposition 40 *Si \mathcal{C}_s possède un unique point singulier de type β_j alors*

$$\text{Ord}_s(\Lambda) = 4(g - j)j\delta_s.$$

Si \mathcal{C}_s possède deux points singuliers de type α_j alors

$$\text{Ord}_s(\Lambda) = (g - j)(j + 1)\delta_s.$$

Preuve : Soit σ l'involution hyperelliptique de \mathcal{C}_{η} . Par unicité du modèle stable, σ se prolonge en une involution de \mathcal{C} . On peut remarquer que dans le cas qui nous intéresse, les composantes irréductibles de \mathcal{C}_s sont fixes par σ . Notons $Y = \mathcal{C}/\langle \sigma \rangle$. Quitte à faire une extension finie du corps de base K , on peut supposer que les points fixes de \mathcal{C}_{η} sous l'involution hyperelliptique sont rationnels, notons les a_1, \dots, a_{2g+2} . Par suite, notons b_1, \dots, b_{2g+2} leurs images dans Y_{η} . Pour des questions de lissité, les spécialisations des a_i qui sont dans le lieu lisse de \mathcal{C}_s sont distincts. Il en est donc de même pour les spécialisations des b_i .

Lemme 41 *Si les points singuliers ne sont pas de type α_0 , les b_i se spécialisent dans le lieu lisse de Y_s .*

Preuve : Si les points singuliers sont du type α_j ($j > 0$), alors ils ne sont pas fixes par σ et donc ne sont pas spécialisations de b_i . Supposons donc que le point singulier de \mathcal{C}_s est du type β_j . Raisonnons par l'absurde et supposons que b_i se spécialise dans un point singulier. Par suite, le point a_i se spécialise en un point singulier p de \mathcal{C}_s . Notons $\tilde{\mathcal{C}}$ l'éclaté de \mathcal{C} en p de sorte que a_i se spécialise en un point lisse de $\tilde{\mathcal{C}}_s$. Comme p est fixe par l'involution hyperelliptique, σ se prolonge en une involution de $\tilde{\mathcal{C}}$. Notons $\tilde{Y} = \tilde{\mathcal{C}}/\langle\sigma\rangle$. Ainsi défini, \tilde{Y} est obtenu de Y en éclatant l'image de p dans Y_s . Notons E la transformée stricte de p par le morphisme $\tilde{\mathcal{C}} \rightarrow \mathcal{C}$ et F son image dans \tilde{Y} . Le morphisme $\tilde{\mathcal{C}} \rightarrow \tilde{Y}$ définit alors un morphisme génériquement séparable de degré deux $E \rightarrow F$ (car la caractéristique résiduelle de R est différente de 2 et σ est non triviale sur E). Notons α et β l'intersection de E avec le lieu singulier de $\tilde{\mathcal{C}}_s$. Les points α , β et la spécialisation de b_i sur E sont alors fixes par l'involution σ . Le morphisme $E \rightarrow F$ possède alors au moins trois points de ramification, ce qui contredit le fait que E est de genre nulle. \square

Lemme 42 *Si le point singulier est de type α_0 alors il y a exactement deux b_i se spécialisant dedans.*

Preuve : Pour des questions de genre de la composante irréductible de \mathcal{C}_s , au moins deux b_i se spécialisent dans le point singulier. Si on suppose qu'au moins trois b_i se spécialisent dans le lieu singulier de Y_s , le même raisonnement que dans la démonstration du lemme précédent conduit à une contradiction sur le genre de \mathcal{C}_s . \square

Dans le cas où le point singulier est de type α_0 , on peut, grâce à ce lemme, se ramener à un calcul analogue à celui des courbes ayant des points singuliers du type α_j avec $j > 0$ en déployant les spécialisations des points b_i se spécialisant dans le lieu singulier.

Notons Y_1 et Y_2 les deux composantes irréductibles de Y_s . Si on regarde la courbe Y du point de vue de la géométrie rigide, on peut considérer Y_1 comme l'ensemble des points de modules 1 et Y_2 comme l'ensemble des points de modules $|t^b|$ où b est l'épaisseur du point singulier de Y_s dans Y et t est une uniformisante de R . Ce choix correspond alors à un certain paramètre x de Y_η qu'on fixe pour le reste de cette démonstration.

Notons $y^2 + Q(x)y - P(x)$ une équation affine de \mathcal{C}_η (le paramètre x étant le paramètre fixé précédemment). Dire que les b_i sont rationnels équivaut à dire que $f = Q^2 + 4P$ est décomposé. Notons $f = A \prod (x - c_i)$. On va alors évaluer les différents facteurs de Λ . Dans le cas d'une courbe ayant un point du type β_j , on a une configuration donnée par la figure 1 (cf [1], §4) et dans le cas d'une courbe

ayant deux points de type α_j (éventuellement $j = 0$ quitte à faire un éclatement) on a une configuration donnée par la figure 2.

FIG. 1: Point de type β_j

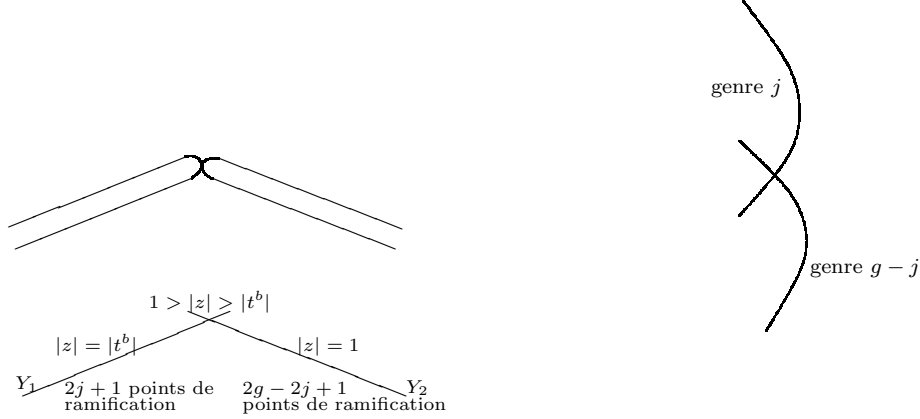
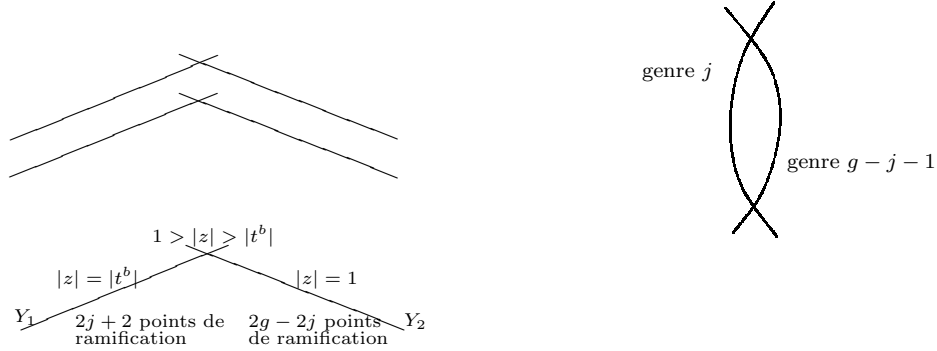


FIG. 2: Point de type α_j



On peut lire les normes $|c_i - c_k|$ en fonction des composantes sur lesquelles se spécialisent b_i et b_k dans Y_s . On trouve directement

$$\text{type } \alpha_j \quad |\Delta| = |A|^{4g+2} \prod_{i \neq k} |c_i - c_k| = |A|^{4g+2} |t^{b(2j+1)(2j+2)}|$$

$$\text{type } \beta_j \quad |\Delta| = |A|^{4g+2} \prod_{i \neq k} |c_i - c_k| = |A|^{4g+2} |t^{b2j(2j+1)}|$$

On construit alors une base de $H^0(\mathcal{C}, \omega_{\mathcal{C}/\text{Spec}(R)})$ comme dans [8], proposition 5.5.

Lemme 43 Dans le cas β_j on a

$$\text{div}_{\text{vert}}\left(\frac{dx}{2y+Q}\right) = -\frac{1}{2}v(A)Y_1 + \left(-\frac{1}{2}v(A) - \frac{1}{2}(2j-1)b\right)Y_2$$

et dans le cas α_j on a

$$\text{div}_{\text{vert}}\left(\frac{dx}{2y+Q}\right) = -\frac{1}{2}v(A)Y_1 + \left(-\frac{1}{2}v(A) - \frac{1}{2}(2j)b\right)Y_2$$

Preuve : On donne la démonstration dans le cas β_j , la démonstration étant semblable dans le cas α_j . Soit $i \in \{1, 2\}$ fixé. Soit x' un paramètre de Y_η relevant un paramètre de Y_i (on peut prendre par exemple x pour Y_1 et xt^{-b} pour Y_2). Notons $U = \text{Spec}(A)$ un voisinage affine dans Y du point générique de Y_i ne rencontrant pas l'autre composante. Notons B la clôture intégrale de A dans $\kappa(\mathcal{C})$. D'après [12], Lemme 1, B est libre sur A , de rang 2 et il existe y' tel que $\{1, y'\}$ soit une base de B sur A . Notons $y'^2 + \tilde{Q}(x')y' - \tilde{P}(x')$ une équation affine associée. Notons

$$\omega = \frac{dx'}{(2y' + \tilde{Q}(x'))}.$$

une base locale du faisceau dualisant (c.f. [11], Lemme 2).

D'autre part, comme $\{1, y\}$ est une base de $A \times K$ on a $y = t^{\zeta_i}y' + s(x)$. Notons $\tilde{f} = \tilde{Q}^2 + 4\tilde{P}$. En remplaçant y par $t^{\zeta_i}y' + s(x)$ dans l'équation $y^2 + Qy - P$ on trouve que

$$\begin{aligned} t^{\zeta_i}\tilde{Q}(x') &= 2s(x) + Q(x) \\ -t^{2\zeta_i}\tilde{P}(x') &= Q(x)s(x) + s(x)^2 - P(x) \end{aligned}$$

donc $t^{2\zeta_i}\tilde{f}(x') = f(x)$. De plus, comme Y_i est réduite (c'est à dire que la réduction de \tilde{f} à k est non nulle), on a $|\tilde{f}| = 1$

Notons $v_{Y_1}(f) = \sup_{|z|=1}(v(f(z)))$ et $v_{Y_2}(f) = \sup_{|z|=|t^b|}(v(f(z)))$. On a alors $v_{Y_1}(f) = v(A)$ et $v_{Y_2}(f) = v(A) + (2j + 1)b$.

On a donc $2\zeta_1 = v(A)$ et $2\zeta_2 = v(A) + (2j + 1)b$.

Finalement, comme

$$\frac{dx}{2y + Q} = \frac{t^b dx'}{t^{\zeta_i}(2y' + \tilde{Q}(x'))}$$

et ω est une base locale, on trouve que

$$v_{Y_1}\left(\frac{dx}{2y + Q}\right) = -\frac{1}{2}v(A)$$

et

$$v_{Y_2}\left(\frac{dx}{2y + Q}\right) = b - \frac{1}{2}v(A) - \frac{1}{2}(2j + 1)b.$$

Ce qui nous donne bien le résultat souhaité. \square

Notons β l'un des points b_i qui se spécialise sur la composante Y_2 et, pour $0 \leq i \leq g - 1$, posons

$$\omega_i = (x - \beta)^i \frac{dx}{2y + Q}.$$

Par suite, définissons $m_i = \min(v_{Y_2}(\omega_i), v_{Y_1}(\omega_i))$. On a alors, dans le cas présent

$$m_i = \min(v_{Y_2}(\omega_i), v_{Y_1}(\omega_0)) = \min(ib + v_{Y_2}(\omega_0), v_{Y_1}(\omega_0)).$$

Lemme 44 Les $\{t^{-m_i}\omega_i\}$ forment une base de $H^0(\mathcal{C}, \omega_{\mathcal{C}/\text{Spec}(R)})$

Preuve : Comme les ω_i forment une base de $H^0(\mathcal{C}_\eta, \omega_{\mathcal{C}_\eta/K})$, ils sont linéairement indépendants. Le diviseur $\text{div}(t^{-m_i}\omega_i)$ est effectif par construction donc $t^{-m_i}\omega_i \in H^0(\mathcal{C}, \omega_{\mathcal{C}/\text{Spec}(R)})$. Il reste à montrer que les ω_i sont générateurs.

Soit $\omega \in H^0(\mathcal{C}, \omega_{\mathcal{C}/\text{Spec}(R)})$, ω est de la forme $t^e h(x) \frac{dx}{2y+Q}$ avec $h \in R[X]$ primitif de degré $d \leq g-1$.

Comme $\text{div}(\omega) \geq 0$, on a pour tout $k \in \{1, 2\}$

$$v_{Y_k}(\omega) = e + v_{Y_k}(h(x)) + v_{Y_k}\left(\frac{dx}{2y+Q}\right) \geq 0.$$

Or, comme h est primitif, $v_{Y_2}(h) \leq db$ et $v_{Y_1}(h) \geq 0$ donc $e + db + v_{Y_2}(\omega_0) \geq 0$ et $e + v_{Y_1}(\omega_0) \geq 0$. C'est à dire que $e \geq -m_d$. Par suite, il existe un élément $c \in R$ tel que $\omega - ct^{-m_d}\omega_d = h_1(x) \frac{dx}{2y+Q}$ soit dans $H^0(\mathcal{C}, \omega_{\mathcal{C}/\text{Spec}(R)})$ avec h_1 de degré inférieur ou égal à $d-1$. Par récurrence, on montre ainsi que la famille $\{t^{-m_i}\omega_i\}$ est génératrice. \square

Finalement, on trouve que

$$\text{Ord}_s\left(\frac{dx}{2y+Q} \wedge \dots \wedge \frac{x^{g-1}dx}{2y+Q}\right) = \sum m_i$$

Un calcul simple nous montre que dans le cas présent on a

$$\begin{aligned} \text{type } \alpha_j \quad \text{Ord}_s\left(\frac{dx}{2y+Q} \wedge \dots \wedge \frac{x^{g-1}dx}{2y+Q}\right) &= -\frac{j^2+j}{2}b \\ \text{type } \beta_j \quad \text{Ord}_s\left(\frac{dx}{2y+Q} \wedge \dots \wedge \frac{x^{g-1}dx}{2y+Q}\right) &= -\frac{j^2}{2}b \end{aligned}$$

Finalement, on trouve que

$$\begin{aligned} \text{type } \alpha_j \quad \text{Ord}_s(\Lambda) &= 2(g-j)(j+1)b \\ \text{type } \beta_j \quad \text{Ord}_s(\Lambda) &= 2(g-j)jb \end{aligned}$$

Il ne reste donc plus qu'à relier δ_s à b .

Dans le cas β_j , on a $2\delta_s = b$, ceci provient du morphisme

$$\text{Spec}R[[xy]]/(xy - t^b) \rightarrow \text{Spec}R[[u, v]]/(uv - t^{2b})$$

donné par $u \mapsto x^2$ et $v \mapsto y^2$.

Dans le cas α_j , on trouve directement que $\delta_s = 2b$ (car les points singuliers de \mathcal{C}_s sont échangés par σ). Finalement, on trouve le résultat annoncé. \square

B Calcul en caractéristique 2

Dans cette appendice, on se propose de montrer l'inégalité (2) dans le cas de certaines courbes en caractéristique résiduelle 2. Pour cela, on procède de la même façon que dans l'appendice précédente.

Soit R un anneau de valuation discrète de caractéristiques $(0, 2)$.

Proposition 45 *Soit $\mathcal{C} \rightarrow \text{Spec}(R)$ une courbe stable hyperelliptique dont la fibre générique est lisse et dont la fibre spéciale contient au plus deux composantes irréductibles. On a $g^2\delta_s \geq \text{Ord}_s(\Lambda) \geq g\delta_s$.*

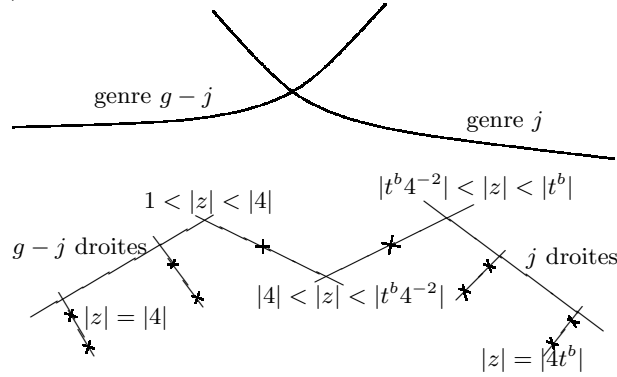
Preuve : Le calcul est essentiellement le même que dans le cas de la caractéristique résiduelle zéro sauf pour le calcul du discriminant, on se contente donc de détailler celui-ci.

Si la fibre spéciale de \mathcal{C} est lisse, le calcul est fait dans [8], proposition 6.3. Si la fibre spéciale de \mathcal{C} possède une unique composante irréductible, celle-ci possédant un point singulier de type α_0 , on se ramène au cas de deux composantes par éclatement.

Notons σ l'involution hyperelliptique. Soit $y^2 + Q(x)y - P(x)$ une équation affine de \mathcal{C}_η . Le discriminant de l'équation est alors $f = Q^2 + 4P$. La caractéristique résiduelle étant 2, on voit que les points fixes de \mathcal{C}_η sous l'action de σ se spécialisent par paire (exactement par paire pour des questions de lissité des composantes de la fibre spéciale).

Notons \mathcal{C}' la résolution complète des spécialisations des points fixes de \mathcal{C}_η sous l'action de σ . On peut alors avoir précisément la répartition des spécialisations des points fixes grâce à [6], théorème 6.1, en fonction du conducteur et de l'épaisseur des points doubles dans $\mathcal{C}'/\langle\sigma\rangle$. On donne aux figures 3, 4, 5 et 6 les configurations possibles pour $(\mathcal{C}'/\langle\sigma\rangle)_s$ dans le cas où les composantes sont de genres j et $g-j$ (respectivement j et $g-j-1$ dans le cas d'une courbe ayant deux points singuliers de type α_j). On a représenté sur chaque figure la fibre spéciale de \mathcal{C} ainsi que celle de $\tilde{\mathcal{C}}$ (où $\tilde{\mathcal{C}}$ est la courbe obtenue de \mathcal{C} en déployant les spécialisations des points fixes de \mathcal{C} sous l'action de σ). Notons b l'épaisseur du point singulier de $\mathcal{C}'/\langle\sigma\rangle$.

FIG. 3: La réduction possède un seul point singulier et l'épaisseur de ce point inférieure à $2v_K(2)$



Dans le cas des figures 3, 4 et 5 (correspondant aux réduction possibles des courbes stables hyperelliptiques dont la fibre spéciale possède deux composantes irréductibles et ayant un unique point singulier, celui-ci étant de type β_j), on

trouve, par un calcul direct, $|disc(f)| = |4^{2g+2}t^{b2j(2j+1)}|$ et par suite, d'après les calculs fait précédement pour les cas β_j (c.f. calcul en caractéristique zéro), on a

$$\text{Ord}_s(\Lambda) = 2(g-j)jb = (g-j)j\delta_s.$$

FIG. 4: La réduction possède un seul point singulier et l'épaisseur de ce point est $2v_K(2)$

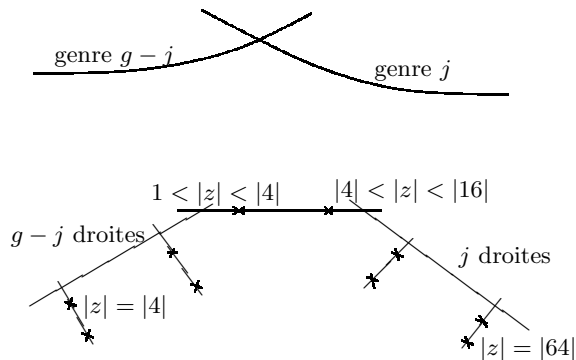
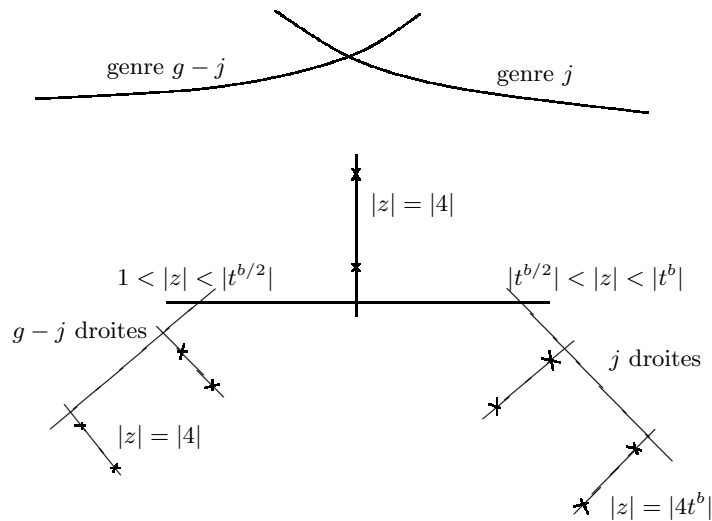


FIG. 5: La courbe possède un unique point singulier dont l'épaisseur est supérieure à $2v_K(2)$



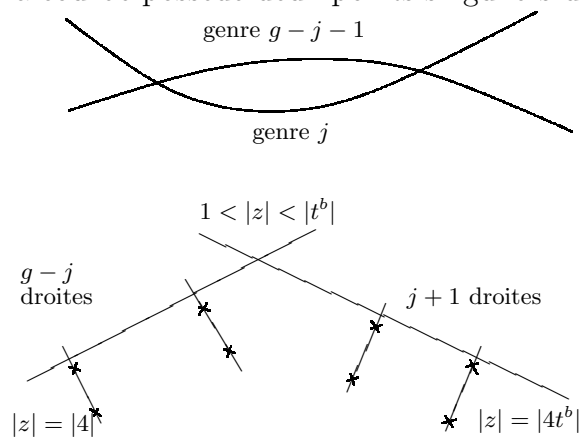
Dans le cas de la figure 6 (correspondant au courbes stables hyperelliptiques dont la fibre spéciale possède deux points singuliers de type α_j). Des calculs analogues au cas de la caractéristique zéro montrent que

$$|disc(f)| = |4^{2g+2}t^{b(2j+2)(2j+1)}|,$$

on a donc

$$\text{Ord}_s(\Lambda) = 2(g-j)(j+1)b + b = ((g-j)j)\delta_s$$

FIG. 6: La courbe possède deux points singuliers de type α_j



Références

- [1] M. Cornalba and J. Harris, *Divisor classes associated to families of stable varieties with applications to the moduli space of curves*, Ann. Sci. Ec. Norm. Sup. **21** (1988), 455–475.
- [2] Deligne and Mumford, *The irreducibility of the space of curves of given genus*, Pub. Math. IHES **36** (1969), 75–109.
- [3] A. Grothendieck, SGA I, *Revêtements étales et groupe fondamental*, Lecture Notes in Math. **224**, Springer-Verlag, Heidelberg (1971).
- [4] _____ and J. Dieudonné, *Éléments de géométrie algébrique*, Publ. Math. IHES, **32** (1967).
- [5] J. Harris and D. Mumford, *On the Kodaira dimension of the moduli space of curves*, Invent. Math. **67** (1982), 23–86.
- [6] Y. Henrio, *Automorphismes d'ordre p de la couronne p -adique ouverte*, Ph.D. thesis, Université de Bordeaux I, 2000.
- [7] _____, *Graphe de Hurwitz et courbes de Mumford sur un corps p -adique*, preprint, 2000.
- [8] I. Kausz, *A discriminant and an upper bound for ω^2 for hyperelliptic arithmetic surfaces*, Compositio Math. **115** (1999), 37–69.
- [9] O. A. Laudal and K. Lønsted, *Deformations of curves I. Moduli for hyperelliptic curves*, Lect. Notes in Math., **687**, Springer, Berlin (1978), 150–167.
- [10] Q. Liu, *Courbes stables de genre 2 et leur schéma de modules*, Math. Ann **295** (1993), 201–222.
- [11] _____, *Conducteur et discriminant minimal de courbes de genre 2*, Compositio Math. **94** (1994), 51–79.
- [12] _____, *Modèles entiers des courbes hyperelliptiques sur un corps de valuation discrète*, Trans. Amer. Math. Soc. **348** (1996), no. 11, 4577–4610.
- [13] K. Lønsted and S. Kleiman, *Basics on families of hyperelliptic curves*, Compositio Math. **38** (1979), 83–111.
- [14] J. S. Milne, *Étale cohomology*, vol. 33, Princeton mathematical series, 1971.
- [15] L. Moret-Bailly, *Hauteurs et classes de Chern sur les surfaces arithmétiques*, Astérisque **183** (1990), 37–58.
- [16] D. Mumford, *Lectures on curves on an algebraic surface*, vol. 59, Ann. of Math. Stud., 1966.
- [17] R. J. Pries, *Construction of covers with formal and rigid geometry*, Courbes semi-stables et groupe fondamental en géométrie algébrique (Raynaud, Bost, Loeser, ed.), Progr. Math., **187** (2000), pp. 157–167.
- [18] G. Xiao, *Fibered algebraic surface with low slope*, Math. Ann **276** (1987), 449–466.

Sylvain Maugeais
Laboratoire A2X, UMR 5465 CNRS
Université de Bordeaux I
351 cours de la Libération,
33405 Talence Cedex, France
e-mail : maugeais@math.u-bordeaux.fr